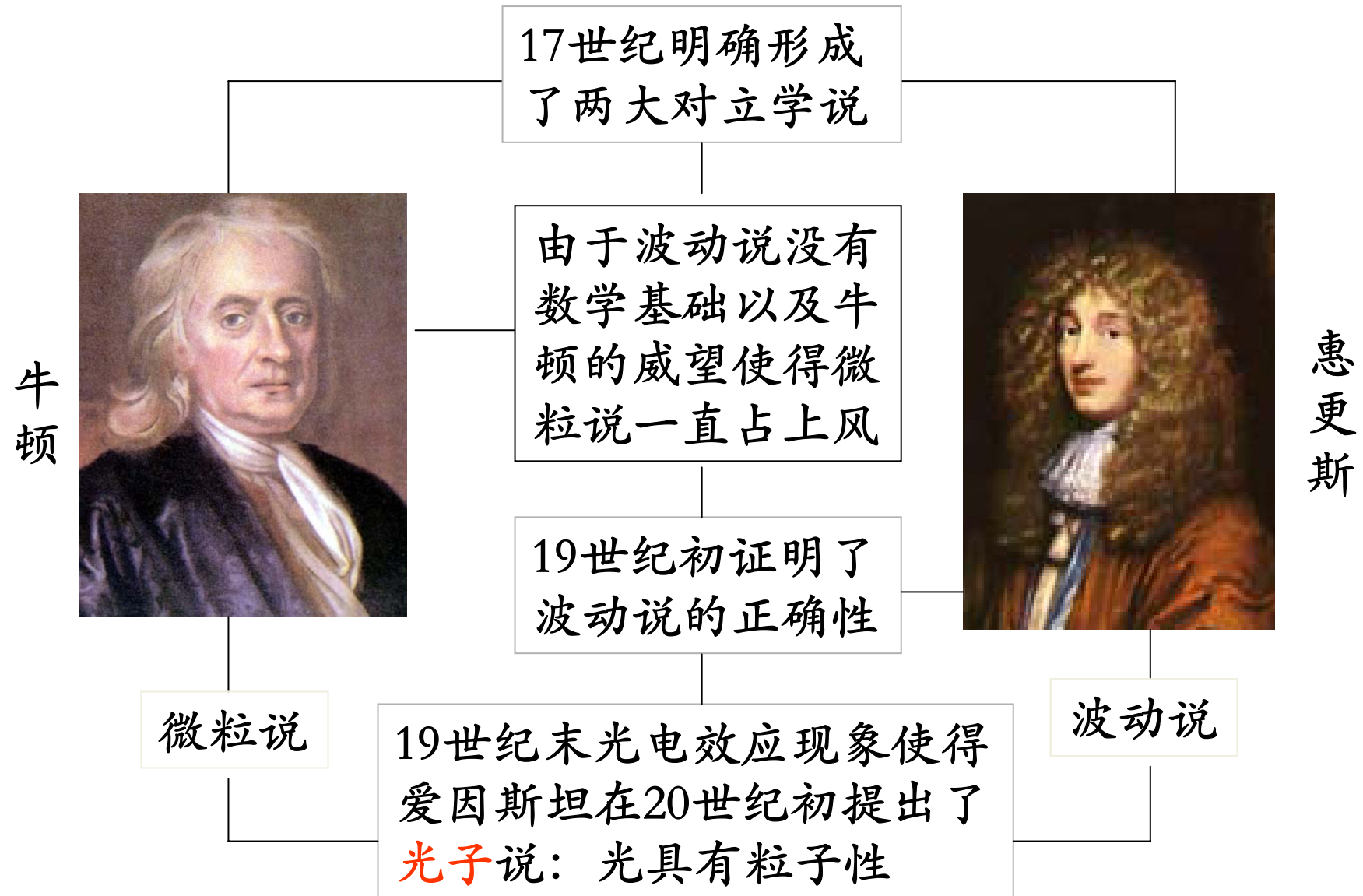


The background features a dark space filled with numerous bright green laser beams radiating from the right side. On the left, a single blue beam and a small cluster of multi-colored beams (including green, yellow, and red) are visible. The Chinese characters '光学' are centered in a bold, red font.

光学

Optics

# 光到底是什么？ .....



这里的光子完全不同于牛顿所说的“微粒”

光的本性：即具有波动性，又具有粒子性

- 波动性：干涉、衍射、偏振(横波)
- 粒子性：黑体辐射、光电效应、康普顿效应

物理光学 { 波动光学：光的电磁理论 { 光的干涉  
光的衍射  
光的偏振  
量子光学：光的量子理论，  
研究光与物质相互作用的规律

几何光学：

根据光的直线传播，以光的折射、反射定律为基础；  
研究光在介质中的传播和成像规律的学科。

# 第一章 光的干涉

§ 1 光的相干性

§ 2 分波前干涉

§ 3 光程、光程差

§ 4 分振幅干涉

§ 5 迈克耳逊干涉仪

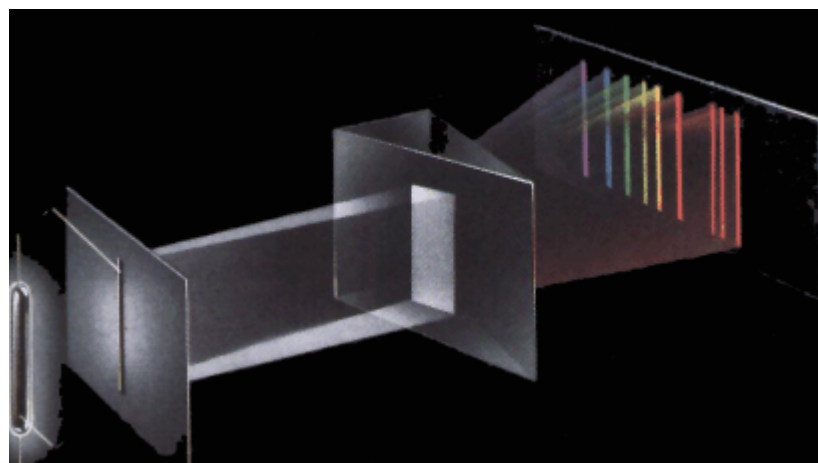
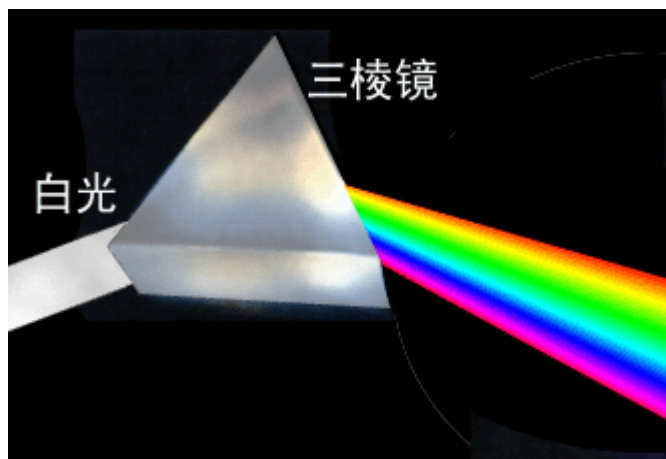
## § 1 光的相干性

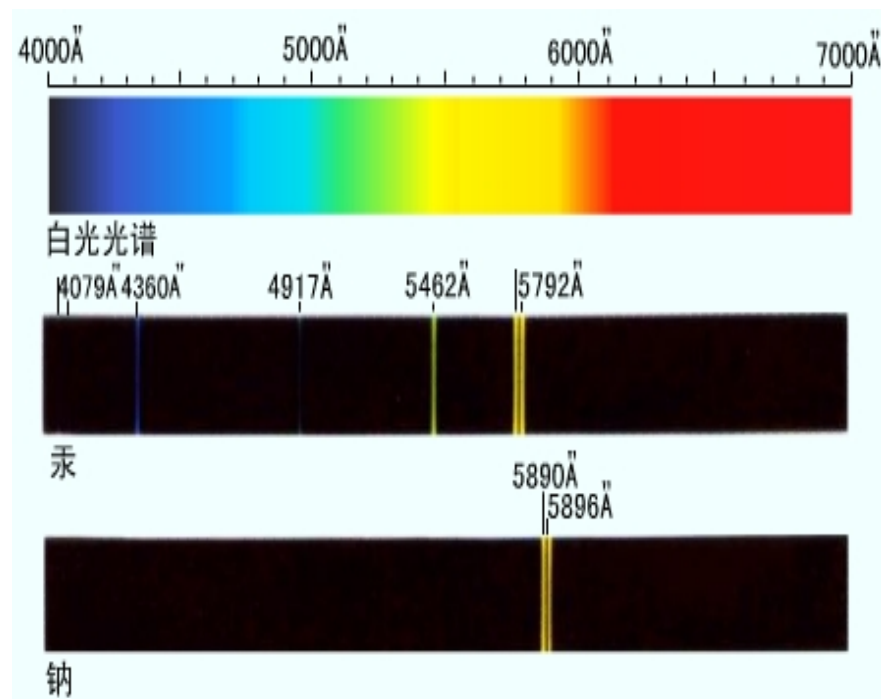
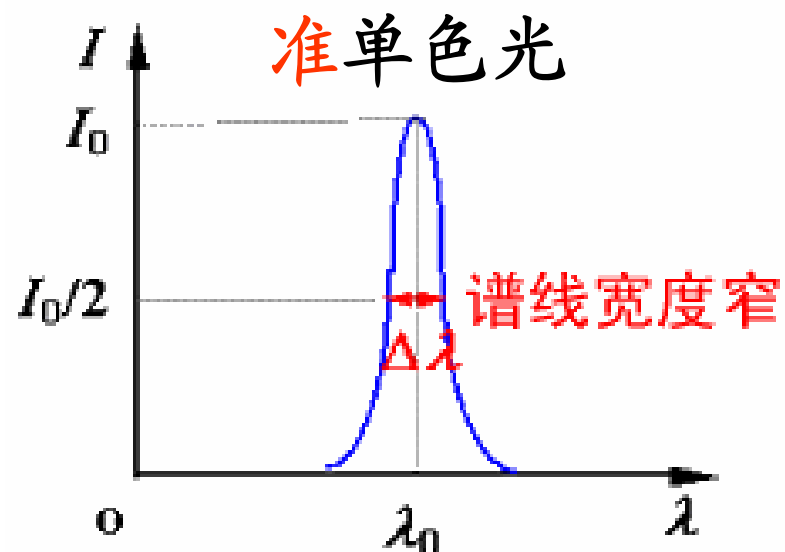
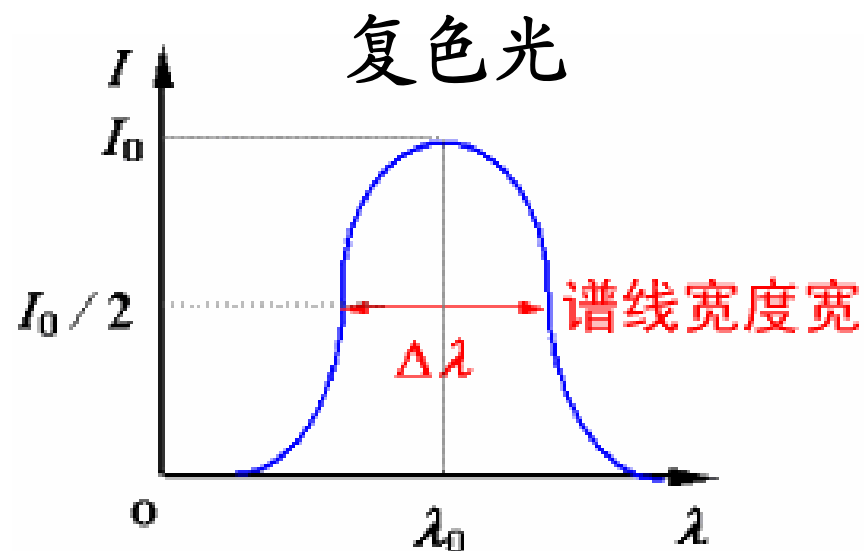
相干条件：频率相同、振动方向相同、相位差恒定

### 1.1 光的单色性

- 单色光——只含单一频率的光
- 复色光——不同频率单色光的混合：比如白光

利用分光镜测量光源的光谱  $\lambda = uT = 2\pi u / \omega$





几种光源的比较			
光源	$\lambda_0$	$\Delta\lambda$	单色性
白光	550nm	$\sim\lambda_0$	差
钠灯 (Na)	589.3nm	0.6nm	较好
低压镉灯 (Cd)	643.8nm	0.0013nm	好
低压氪灯 (Kr)	605.8nm	0.00047nm	好
氦氖激光器	632.8nm	$10^{-9}$ nm	极好

## 1.2 原子的发光机制

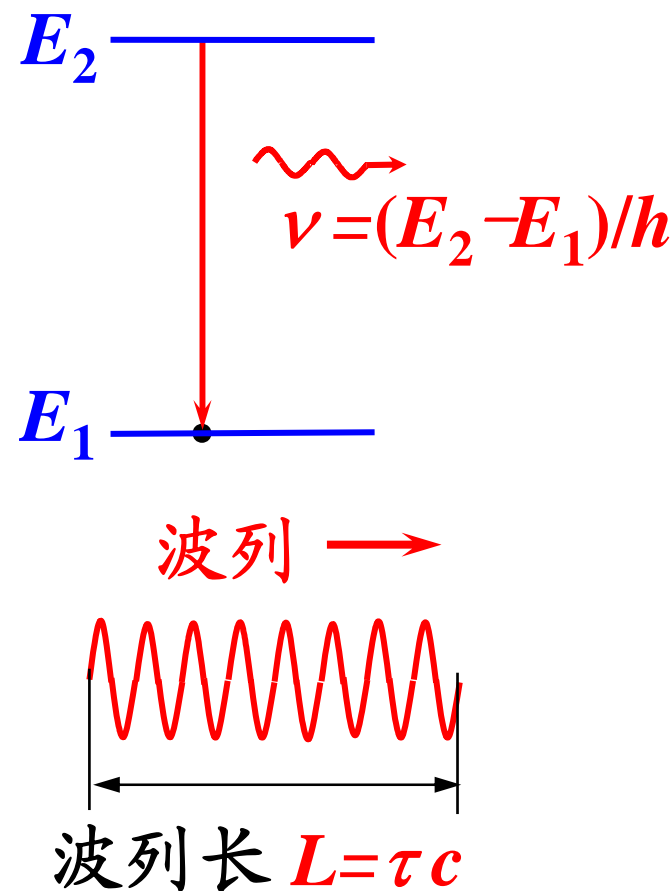
原子从高能态向低能态跃迁，  
向外辐射电磁波

设跃迁过程经历的时间(驰豫时间、  
发光时间)为 $\tau$

每次发光只发出一段长为  
 $L = \tau c$ 的有限长波列

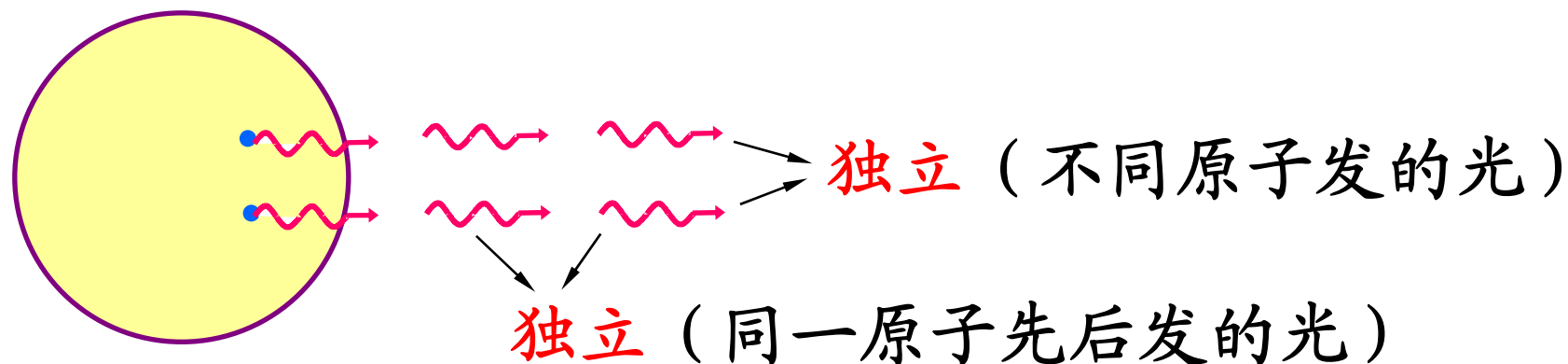
由傅立叶频谱分析可知，有限长的波列可以表示为许多不同频率  
不同振幅的简谐波的叠加

实际光波是包含了多种波长成分的复色光，  
而严格的单色光实际是不存在的



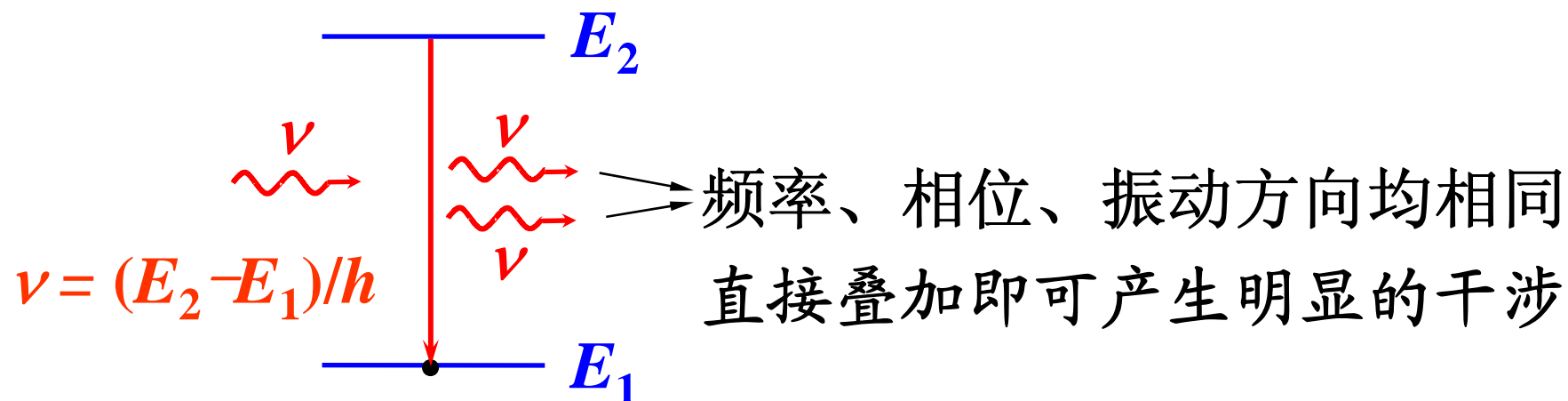
## (1) 普通光源：自发辐射

各次发光相互独立，具有随机性、间歇性



各波列的频率、振动方向不会完全相同，初相位无关

## (2) 激光光源：受激辐射





**判断题： #T5101.**

使用复色光无法获得干涉条纹

## § 2 分波前干涉

### 2.1 杨氏双缝干涉

托马斯·杨 (Thomas Young)

英国物理学家、医生和考古学家，  
光的波动说的奠基人之一

波动光学：杨氏双缝干涉实验

生理光学：三原色原理

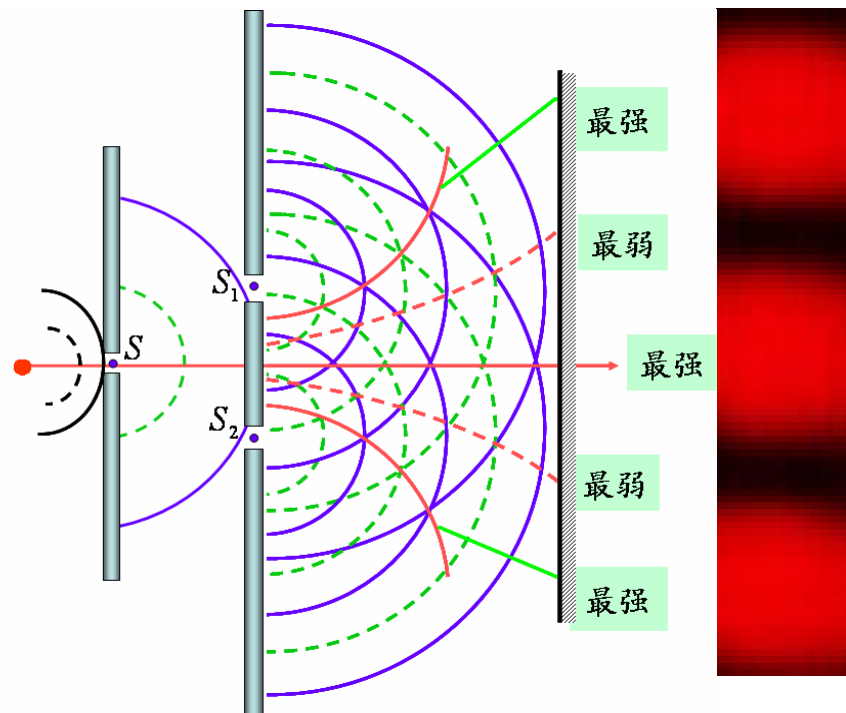
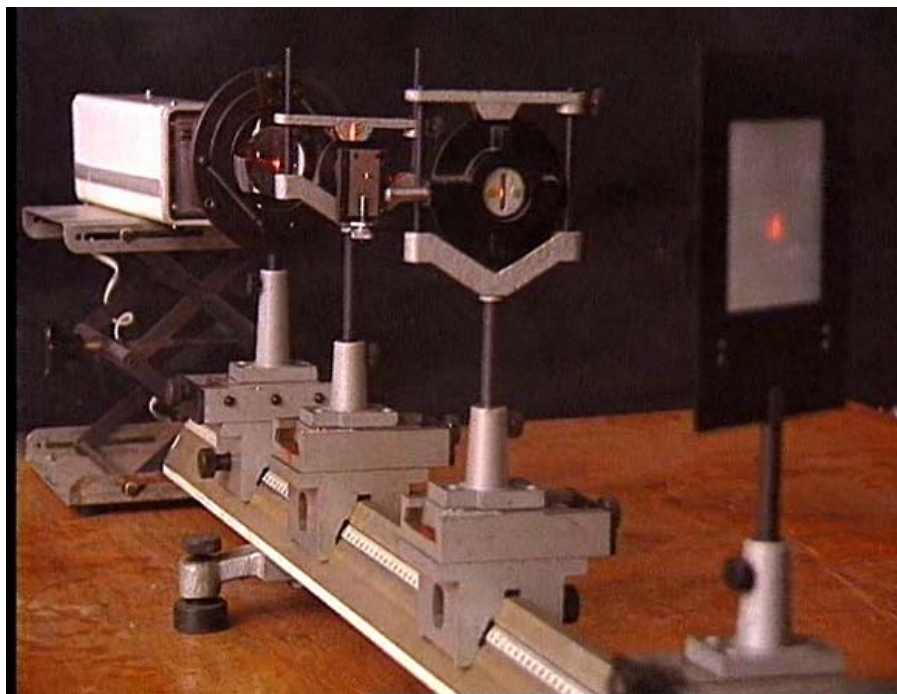
材料力学：杨氏弹性模量

考古学：破译古埃及石碑上的文字



托马斯·杨巧妙的解决了相干光源的问题，成功地利用普通光源观察到干涉现象，并用波动理论做出了解释

# 1. 杨氏双缝干涉实验



光源发出的光先照射到单缝 $S$ 上

在单缝 $S$ 的前面放置两个相距很近的狭缝 $S_1$ 、 $S_2$ ， $S$ 到 $S_1$ 、 $S_2$ 的距离很小并且相等

通过双缝 $S_1$ 、 $S_2$ 的光来自同一子波源 $S$ 的同一波前，二者振动方向、频率、初相位均相同，将会产生干涉

**判断题： #T5102.**

杨氏双缝实验中，分别用两个普通的独立的单色光源照射 $S_1$ 和 $S_2$ ，如果照相机的曝光时间比原子的发光时间( $\sim 10^{-8}\text{s}$ )还要短很多，则有可能拍得干涉图样的照片。

## 2. 明纹与暗纹条件

同一子波源→初相差为0,  
相位差为

$$\Delta\varphi = \varphi_1 - \varphi_2 = \frac{2\pi}{\lambda} \delta$$

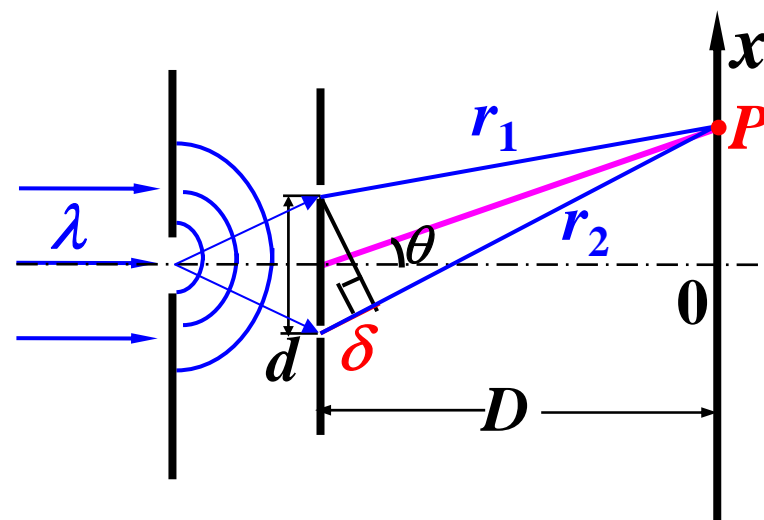
两缝处同相→波程差为

$$\delta = r_2 - r_1 \approx d \sin \theta \approx d \operatorname{tg} \theta = d \cdot \frac{x}{D}$$

明纹条件:  $\Delta\varphi = 2k\pi, \quad k = 0, \pm 1, \pm 2, \dots$        $\delta = k\lambda$

暗纹条件:  $\Delta\varphi = (2k+1)\pi, \quad k = 0, \pm 1, \pm 2, \dots$        $\delta = (k + \frac{1}{2})\lambda$

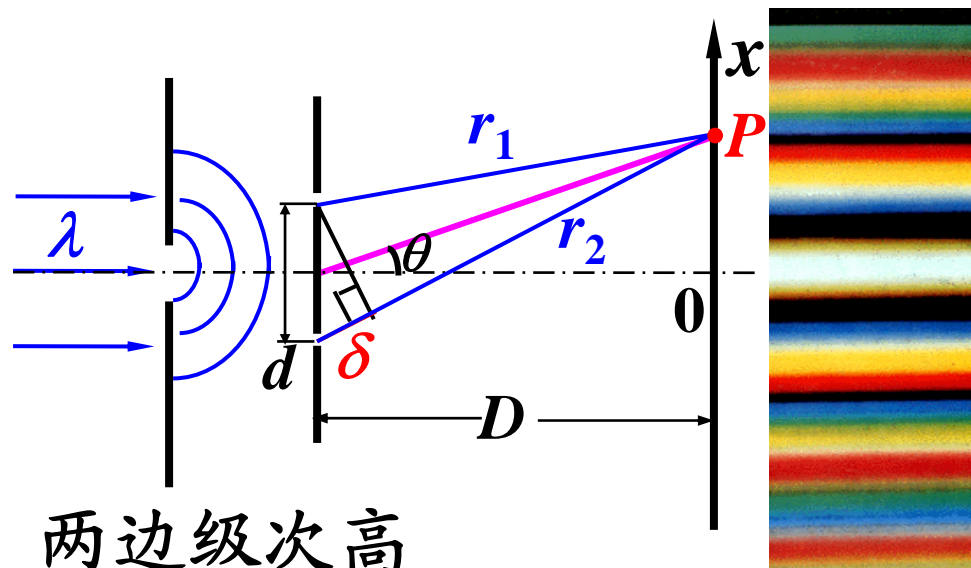
明纹(中心)位置  $x_k = k \frac{D}{d} \lambda$       暗纹位置  $x_{k+\frac{1}{2}} = (k + \frac{1}{2}) \frac{D}{d} \lambda$



$d \gg \lambda, \quad D \gg d \quad (d \sim 10^{-4}\text{m}, D \sim \text{m})$

### 3. 条纹特点与变化

- 若为单色光入射  
一组明暗相间的平行条纹  
 $\theta$  不太大时条纹等间距



$$x_k = k \frac{D}{d} \lambda \quad \text{中间级次低, 两边级次高}$$

- 明纹(暗纹)的间距均为  $\Delta x = \frac{D}{d} \lambda$

演示

$d \downarrow, D \uparrow, \lambda \uparrow \rightarrow \Delta x \uparrow$ , 条纹变疏, 零级明纹位置不变

- 改变单缝S位置      若上下平移双缝呢?

S下移时, 零级明纹及条纹整体上移, 条纹间距不变

- 若为白光入射

0级明纹中心为白色, 其余明纹构成内紫外红的彩带

**例：**以单色光照射到相距为**0.2mm**的双缝上，双缝与屏幕的垂直距离为**1m**；从第1级明纹到**同侧**的第4级明纹相距为**7.5mm**；**求：**(1)入射光的波长；(2)相邻明纹间的距离

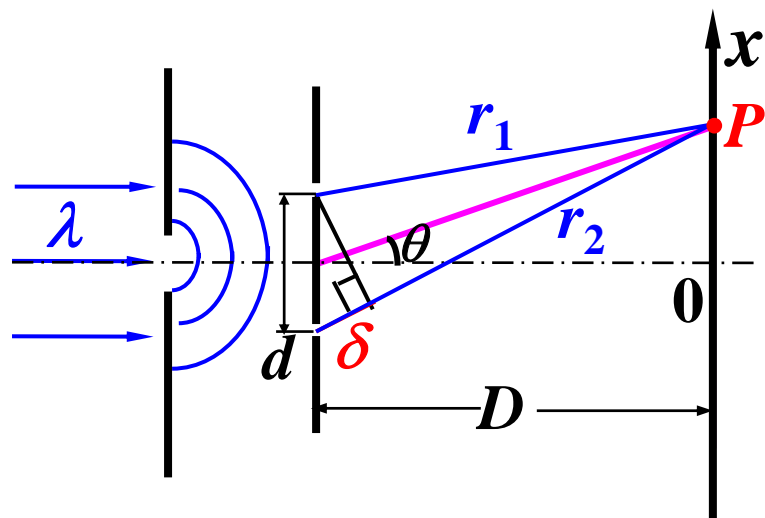
**解：**(1) 明纹位置公式

$$x_k = k \frac{D}{d} \lambda, \quad k = 0, \pm 1, \pm 2, \dots$$

$$\Delta x_{14} = x_4 - x_1 = (4 - 1) \frac{D}{d} \lambda$$

$$= \frac{3D}{d} \lambda = 7.5\text{mm} \Rightarrow \lambda = \frac{0.2 \times 10^{-6}}{3 \times 1 \times 10^{-9}} \times 7.5 \times 10^{-6} \text{nm} = 500\text{nm}$$

(2) 条纹间距公式  $\Delta x = \frac{D}{d} \lambda = \frac{1 \times 10^{-9}}{0.2 \times 10^{-6}} \times 500\text{nm} = 2.5 \text{mm}$



例：用波长 $\lambda=0.5893\mu\text{m}$ 钠光灯作光源，屏幕与双缝的距离 $D=500\text{mm}$ ；求：

(1) $d=1.2\text{mm}$ 和 $d=10\text{mm}$ ，相邻明纹间距分别为多大？

(2)若相邻明纹的最小分辨距离为 $0.065\text{mm}$ ，能分辨干涉条纹的双缝间距是多少？

解：(1) $d=1.2\text{mm}$  可分辨  $\Delta x = \frac{D}{d} \lambda = \frac{500 \times 5.893 \times 10^{-4}}{1.2} = 0.25\text{mm}$

$d=10\text{mm}$  不可分辨  $\Delta x = \frac{D}{d} \lambda = \frac{500 \times 5.893 \times 10^{-4}}{10} = 0.030\text{mm}$

(2)若 $\Delta x$ 最小为 $0.065\text{mm}$ ，则双缝间距 $d$ 最大为

$$d = \frac{D}{\Delta x} \lambda = \frac{500 \times 5.893 \times 10^{-4}}{0.065} = 4.5\text{mm}$$



例：用波长 $4000\text{\AA} \sim 7000\text{\AA}$ 的白光作双缝干涉实验时，能观察到几级清晰可辨的彩色光谱？

解：除0级明纹外，两侧形成内紫外红的对称彩色光谱

当 $k$ 级红色明纹位置 $x_{k\text{红}} \geq (k+1)$ 级紫色明纹位置 $x_{(k+1)\text{紫}}$ 时，光谱就发生重叠

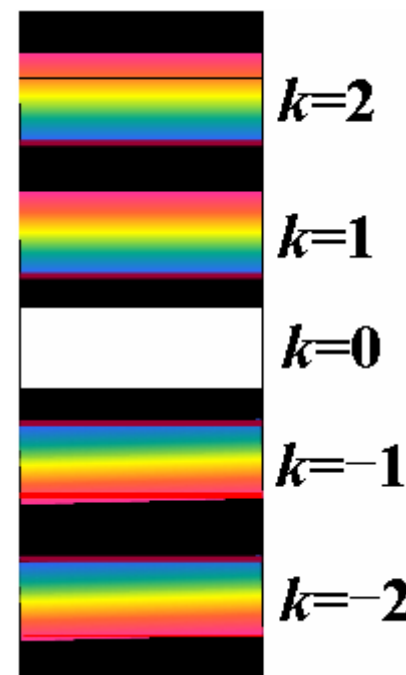
由明纹位置公式有

$$x_{k\text{红}} = k \frac{D}{d} \lambda_{\text{红}}, \quad x_{(k+1)\text{紫}} = (k+1) \frac{D}{d} \lambda_{\text{紫}}$$

$k$ 级红色明纹与 $(k+1)$ 级紫色明纹重合时有

$$k \frac{D}{d} \lambda_{\text{红}} = (k+1) \frac{D}{d} \lambda_{\text{紫}} \Rightarrow k = \frac{\lambda_{\text{紫}}}{\lambda_{\text{红}} - \lambda_{\text{紫}}} = \frac{4000}{7000 - 4000} = \frac{4}{3} < 2$$

第2级红色明纹与第3级紫色明纹重叠，只能分辨第1级



**例：**双缝间距离 $d=0.25\text{mm}$ ，双缝到屏幕的距离  $D=50\text{cm}$ ，

用波长 $400\text{nm}\sim 700\text{nm}$ 的**白光**照射双缝，

**求：**第2级明纹彩色带(第2级光谱)的**宽度**。

**解：**所求第2级明纹彩色带(光谱)的宽度，  
实际上是 $7000\text{\AA}$ 的第2级明纹和 $4000\text{\AA}$ 的  
第2级明纹之间的距离

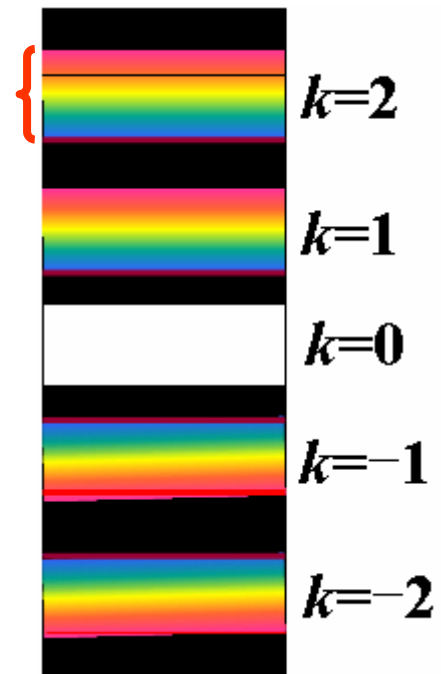
由明纹位置公式有

$$x_{2\text{红}} = 2\frac{D}{d}\lambda_{\text{红}}, \quad x_{2\text{紫}} = 2\frac{D}{d}\lambda_{\text{紫}}$$

这两种波长的第2级明纹位置相距为

$$\Delta x = 2\frac{D}{d}(\lambda_{\text{红}} - \lambda_{\text{紫}}) = 1.2\text{mm}$$

$$d=0.25\text{mm}, D=500\text{mm}, \lambda_{\text{红}}=7\times 10^{-4}\text{mm}, \lambda_{\text{紫}}=4\times 10^{-4}\text{mm}$$

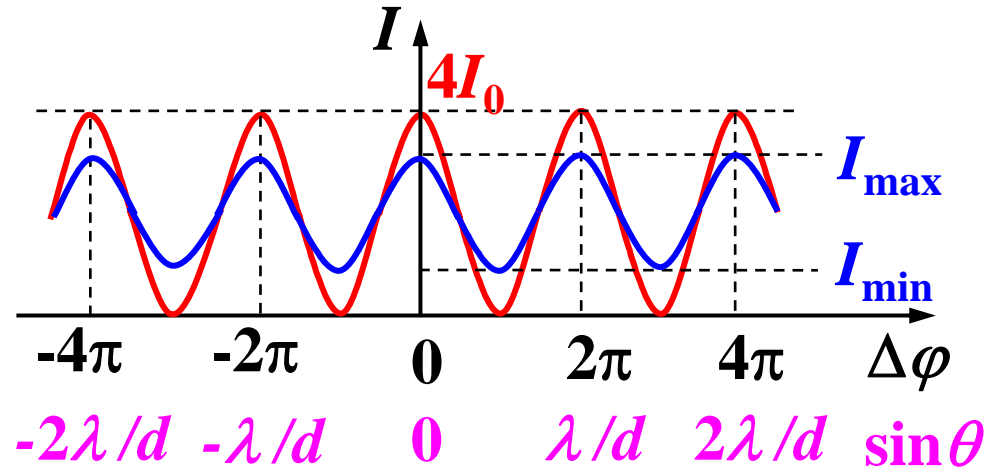


## 4. 光强曲线

$$I = I_1 + I_2 + 2\sqrt{I_1 I_2} \cos \Delta\varphi \quad \text{若 } I_1 = I_2 = I_0, \text{ 则 } I = 4I_0 \cos^2 \frac{\Delta\varphi}{2}$$

$$\Delta\varphi = \frac{2\pi}{\lambda} \delta = \frac{2\pi}{\lambda} d \sin \theta$$

$$I = 4I_0 \cos^2 \left( \frac{\pi}{\lambda} d \sin \theta \right)$$



## 5. 对比度

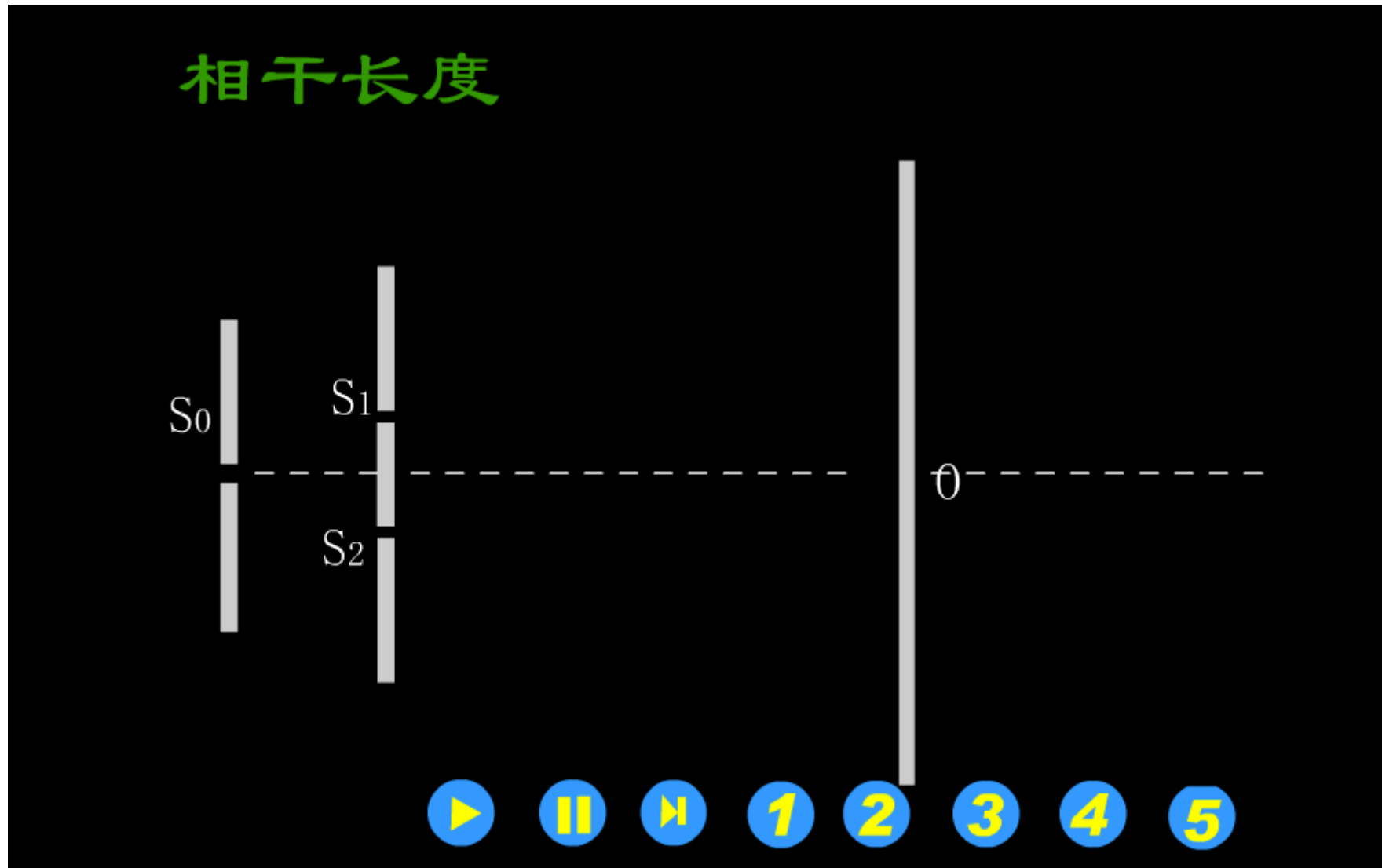
条纹衬比度(对比度, 反衬度、**contrast**)  $V = \frac{I_{\max} - I_{\min}}{I_{\max} + I_{\min}}$

若  $I_1 = I_2 = I_0$ , 则  $I_{\max} = 4I_0$ ,  $I_{\min} = 0 \rightarrow$  衬比度好 ( $V = 1$ )

若  $I_1 \neq I_2 \rightarrow$  衬比度不好 ( $V < 1$ )

实验中应尽量使双缝宽度相等, 使得  $I_1 \approx I_2$

## 6. 相干长度

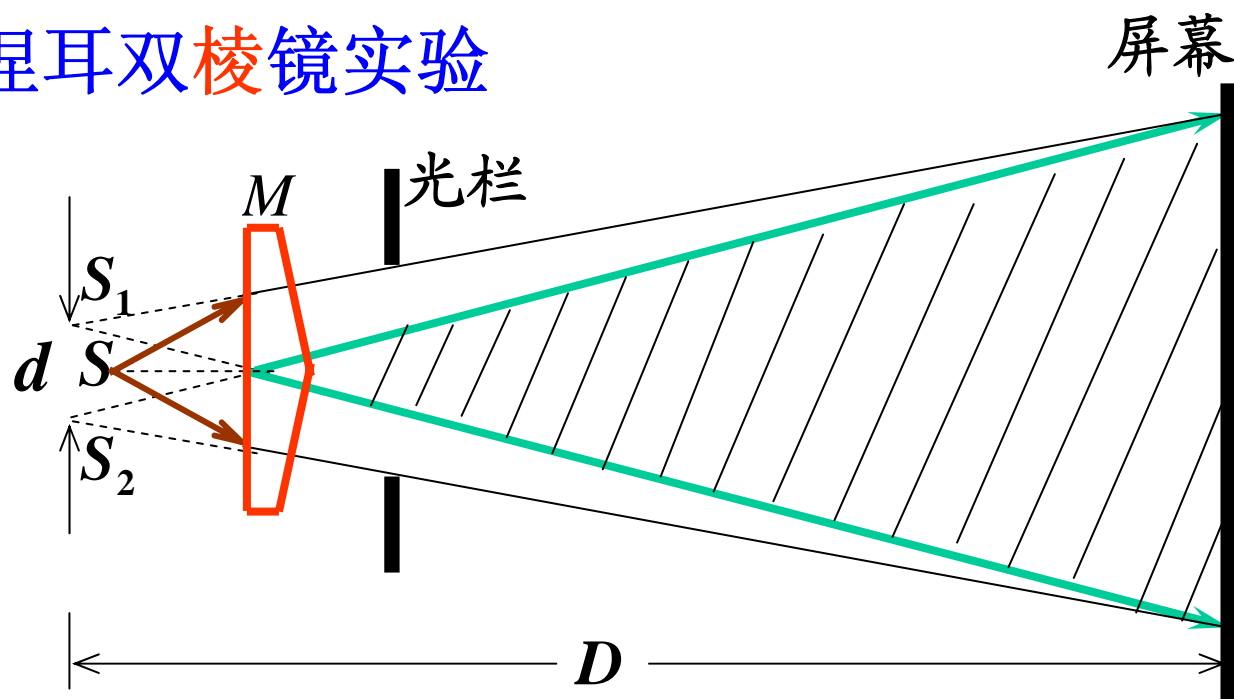


电磁波的相干条件补充：

(1)两振幅差别不能太大；(2)两列光的光程差不能太大

## 2.2 类双缝干涉

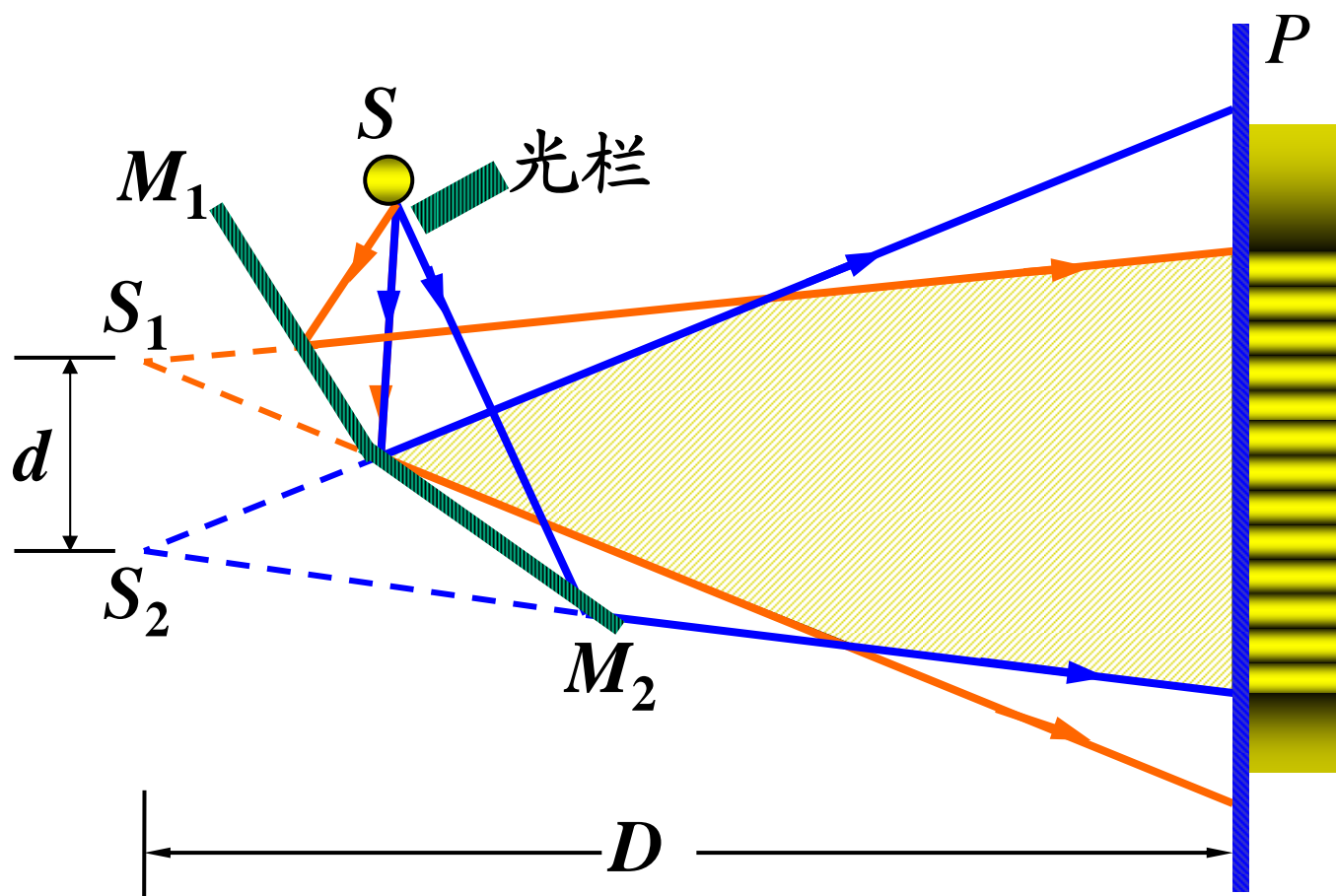
### 1. 菲涅耳双棱镜实验



由一个顶角很大的等腰三棱镜,或者说由两个楔角很小的直角三棱镜组成,从而避免了狭缝的使用。

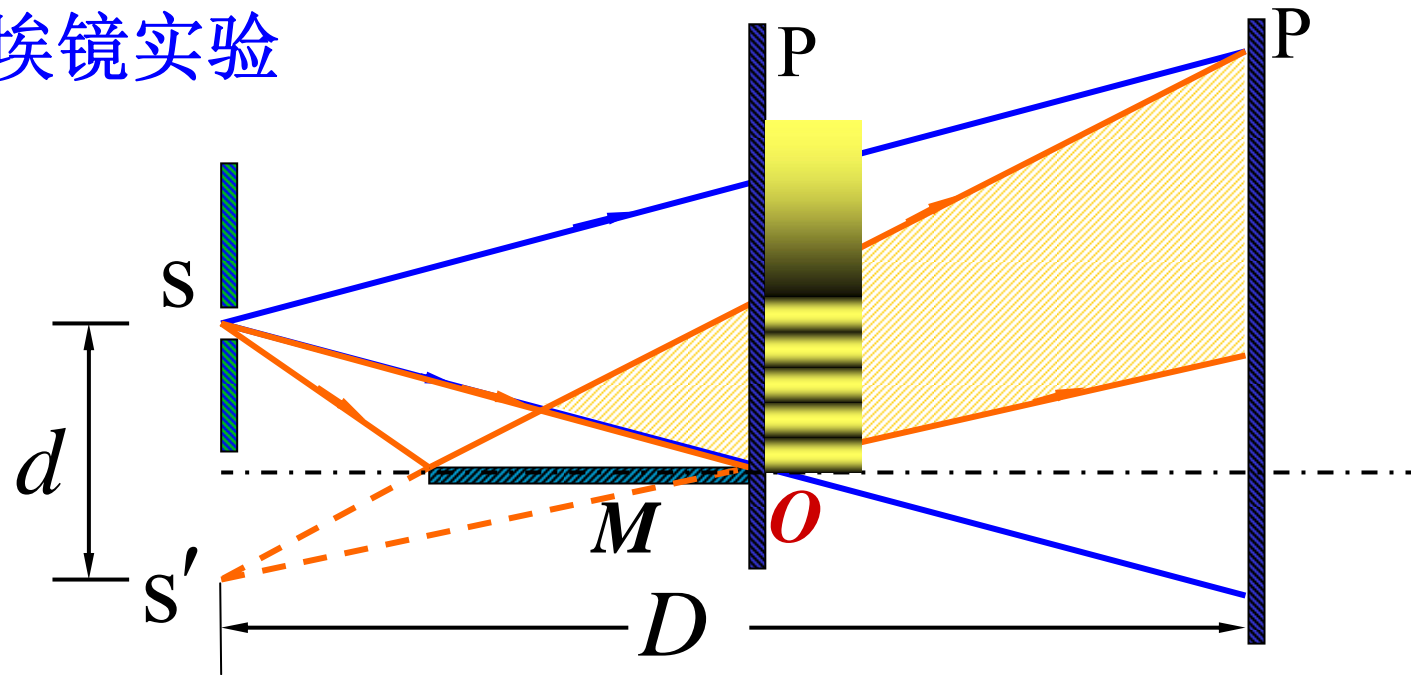
光源 $S$ 发出的光经双棱镜折射后分成两部分,相当于从两个相位相同的相干虚光源 $S_1$ 、 $S_2$ 发出的光,在重叠区内产生干涉。

## 2. 菲涅耳双面镜干涉实验



两个夹角很小的平面镜 $M_1$ 、 $M_2$ 构成一个双面镜  
点光源 $S$ 经双面镜成的像 $S_1$ 、 $S_2$ 就是两个相干光源

### 3. 洛埃镜实验



点光源S直接发出的光线，和它经距离不远处( $\sim 0.1\text{mm}$ )的平面镜M反射的光线，相干叠加形成干涉条纹。

点光源S和它在平面镜M中所成的像S'作为相干光源

当屏幕移至O处，但观察到的并非明纹，而是暗纹！

空气 $\rightarrow$ 玻璃(光疏 $\rightarrow$ 光密)，反射光有半波损失

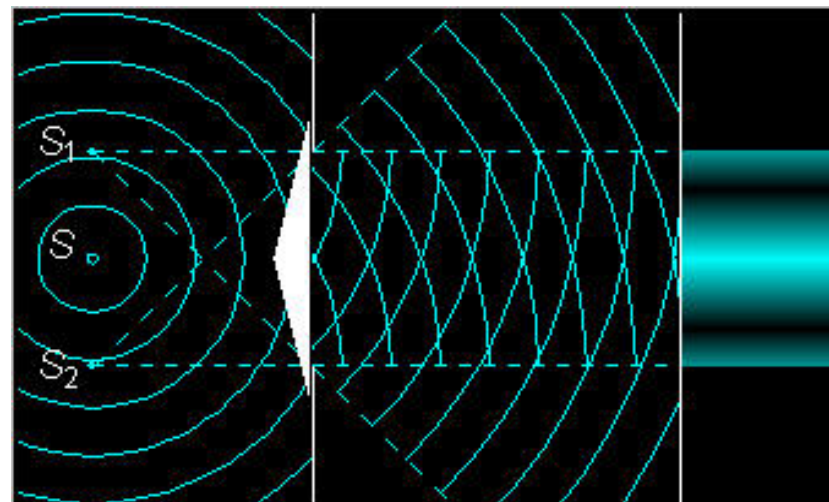
$$\delta = S'O - SO \pm \frac{\lambda}{2} \approx d \sin \theta \pm \frac{\lambda}{2}$$



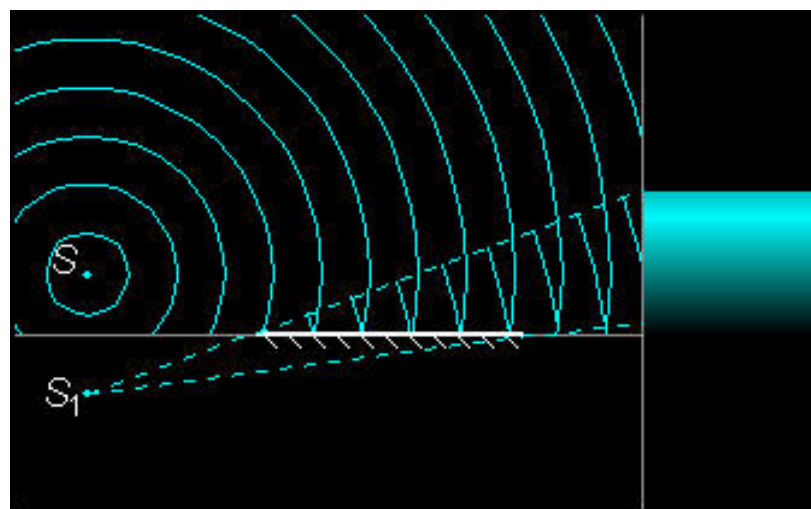
杨氏双缝

把单个波前分解为两个波前，  
以满足频率相同、振动方向相  
同、相位差恒定的相干条件。

**分波前法：**把光波的波前分  
为两部分以获得相干光源。



菲涅耳双棱镜

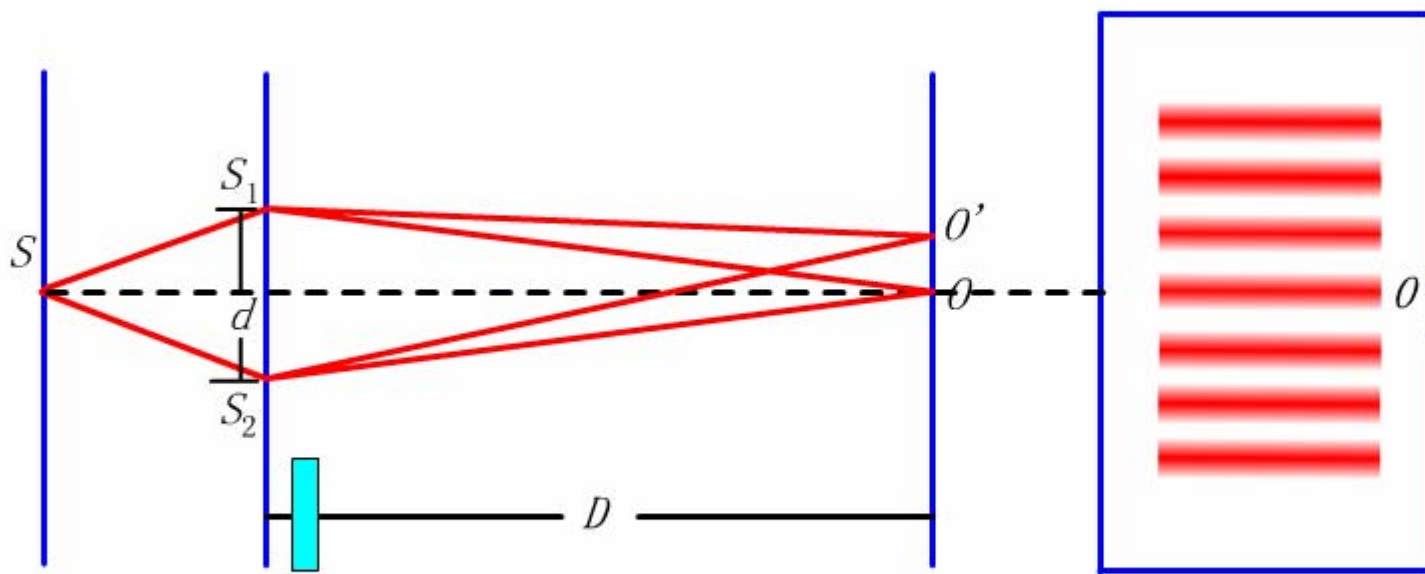


洛埃镜



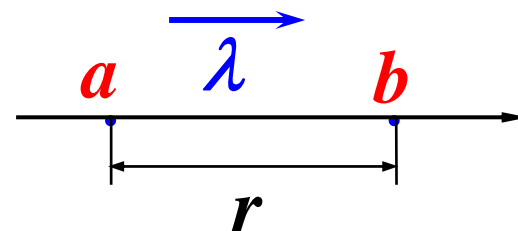
### § 3 光程、光程差

若在 $S_1$ 后加透明介质薄膜，干涉条纹如何变化？  
零级明纹上移至点 $O'$ ，干涉条纹整体向上平移；  
若在 $S_2$ 后加透明介质薄膜，则干涉条纹整体下移。



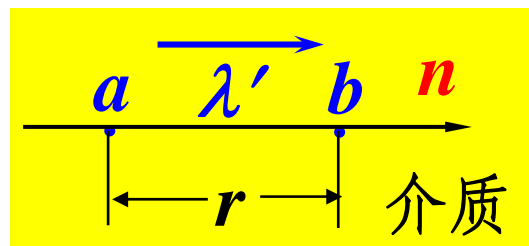
## 1. 光程

光在真空中从**a**→**b**向右传播:



**b**点相位落后  $\Delta\varphi = \varphi_a - \varphi_b = \frac{2\pi}{\lambda} r$  真空中的波长  $\lambda = cT$

光在折射率为**n**的某种介质中从**a**→**b**:



**b**点相位落后  $\Delta\varphi = \varphi_a - \varphi_b = \frac{2\pi}{\lambda'} r = \frac{2\pi}{\lambda} nr$

介质中的波长  $\lambda' = uT = \frac{c}{n} T = \frac{\lambda}{n}$  介质中的波速  $u = \frac{c}{n}$

光在介质中传播 **r** 和在真空中传播 **nr** 引起的相位差相同  
称 **nr** 为与介质中路程 **r** 相应的光程  $L = nr$

光程是光的等效真空路程, 把光在介质中传播路程 **r**  
等效成在真空中传播了路程 **nr**, 统一使用真空中波长

**选择题： #S5101.**

真空中波长为 $\lambda_0$ 的两条光线A、B，若A在空气中传播，B在玻璃中传播，则在相同的时间 $\Delta t$ 内，它们传播的

- (1) 路程相同，光程相同；
- (2) 路程相同，光程不同；
- (3) 路程不同，光程相同；
- (4) 路程不同，光程不同。

**选择题： #S5102.**

单色光从空气射入水中，下列说法中正确的是：

- (1) 波长变短，光速变小；
- (2) 波长不变，频率变大；
- (3) 频率不变，光速不变；
- (4) 波长不变，频率不变。

- 若光通过多种介质，光程为

$$L = \sum (n_i r_i)$$

- 光通过两条光路的光程差

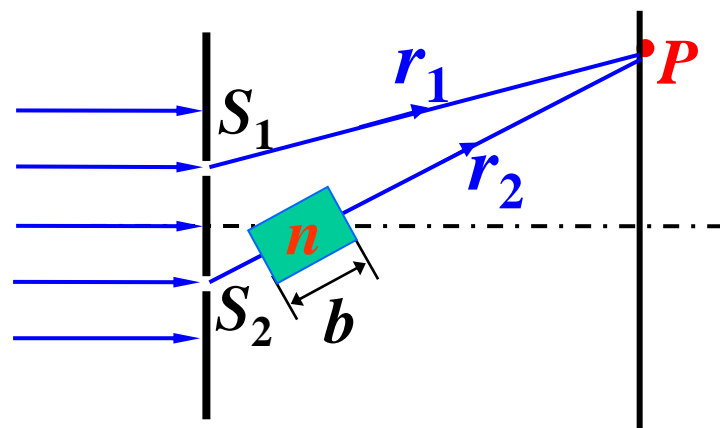
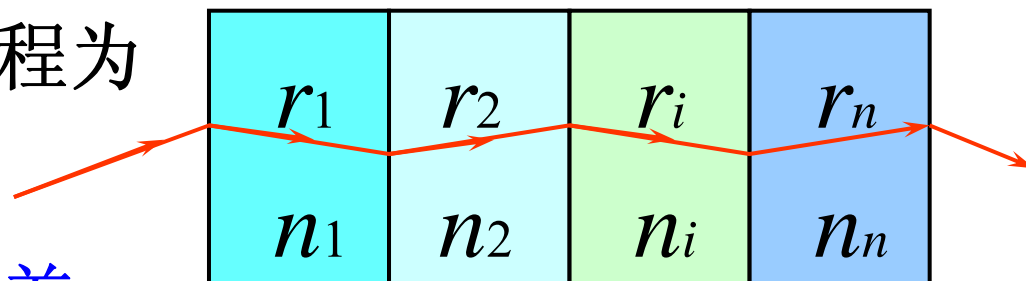
$$\delta = L_2 - L_1$$

相位差  $\Delta\varphi = \frac{2\pi}{\lambda} \delta$

真空中波长

- 典型相位差对应的光程差

$\Delta\varphi$	$\delta$
$\pi$	$\lambda/2$
$2\pi$	$\lambda$
$2k\pi$	$k\lambda$
$(2k+1)\pi$	$(k+1/2)\lambda$



图中两光路到P点的相位差：

$$\Delta\varphi = \varphi_1 - \varphi_2$$

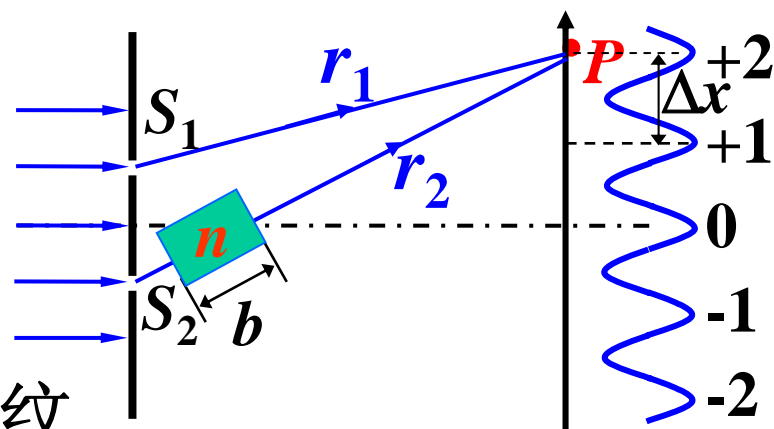
$$= \frac{2\pi}{\lambda} \{ [(r_2 - b) + nb] - r_1 \}$$

$$= \frac{2\pi}{\lambda} [(r_2 - r_1) + (n-1)b]$$

## 2. 介质对干涉条纹的影响

- 设无介质时， $P$ 处为 $k$ 级明纹

$$\frac{2\pi}{\lambda}(r_2 - r_1) = 2k\pi \Rightarrow r_2 - r_1 = k\lambda$$



- 若 $S_2$ 后有介质时， $P$ 处为 $k'$ 级明纹

$$\frac{2\pi}{\lambda}[(r_2 - r_1) + (n-1)b] = 2k'\pi \Rightarrow \Delta k = k' - k = \frac{(n-1)b}{\lambda} > 0$$

$P$ 处级次增大 $\Delta k$ ，**下移**了 $\Delta k$ 个条纹，下移距离 $\Delta k \cdot \Delta x$

- 若 $S_1$ 后有厚度 $b$ 、折射率 $n$ 的介质时， $P$ 处为 $k'$ 级明纹

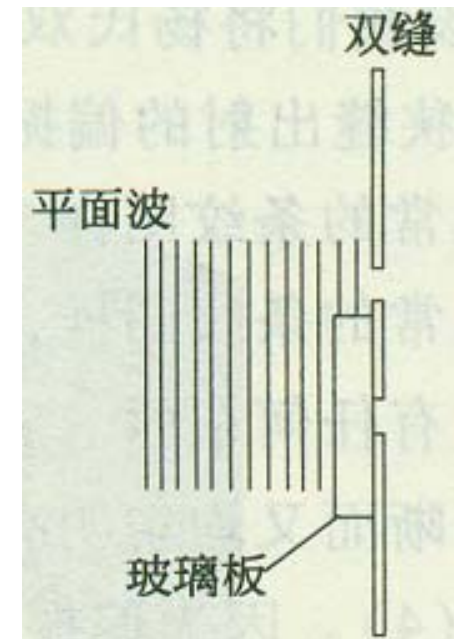
$$\frac{2\pi}{\lambda}\{r_2 - [(r_1 - b) + nb]\} = \frac{2\pi}{\lambda}[(r_2 - r_1) - (n-1)b] = 2k'\pi$$

$$\Rightarrow \Delta k = \frac{-(n-1)b}{\lambda} < 0 \quad P \text{ 处的级次减小了，条纹整体**上移**}$$

### 选择题： #S5103.

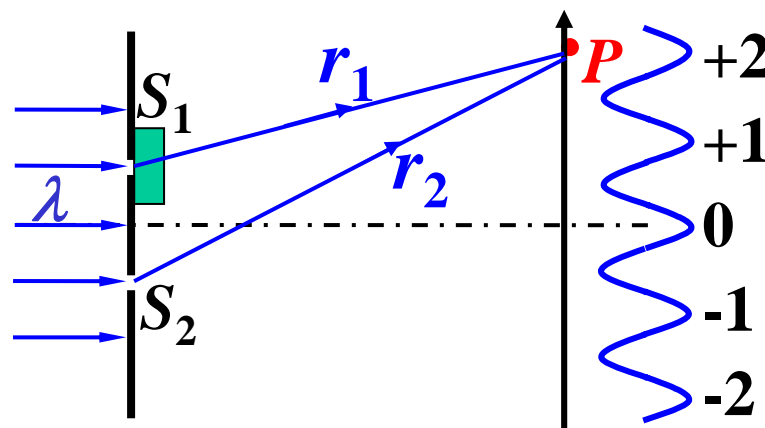
如图所示，双缝干涉实验中，将一个玻璃板盖在下面的缝 $S_2$ 上，由于光在玻璃中的波长比空气中的短，光透过两缝后相位将不同。如果两者的相位差是 $\pi$ ，则干涉图样如何变化？

- (1) 因为反相相消，所以干涉条纹消失；
- (2) 干涉条纹整体上移；
- (3) 干涉条纹整体下移；
- (4) 明纹和暗纹的位置互换。



**例：**当双缝中的 $S_1$ 后面盖上折射率为 $n=1.58$ 的云母片时，观察到屏幕上干涉条纹移动了9个条纹间距，已知波长 $\lambda=5500\text{\AA}$ ，**求：**零级明纹的新位置、云母片的厚度 $b$

**解：** $S_1$ 后有介质时，条纹将上移移动了9个条纹，零级明纹移至原来的第9级明纹处：



$$x = 9 \cdot \Delta x = 9 \frac{D}{d} \lambda$$

(Note:  $d$  is labeled as 双缝间距 in the original image)

光程差的改变量为  $-(n-1)b = (k' - k)\lambda = (0 - 9)\lambda = -9\lambda$

$$\therefore b = \frac{9\lambda}{n-1} = 9 \times 5500 \times 10^{-10} / (1.58 - 1) = 8.53 \times 10^{-6} \text{m}$$

$S_1$ 发出的光可近似看作垂直通过云母片



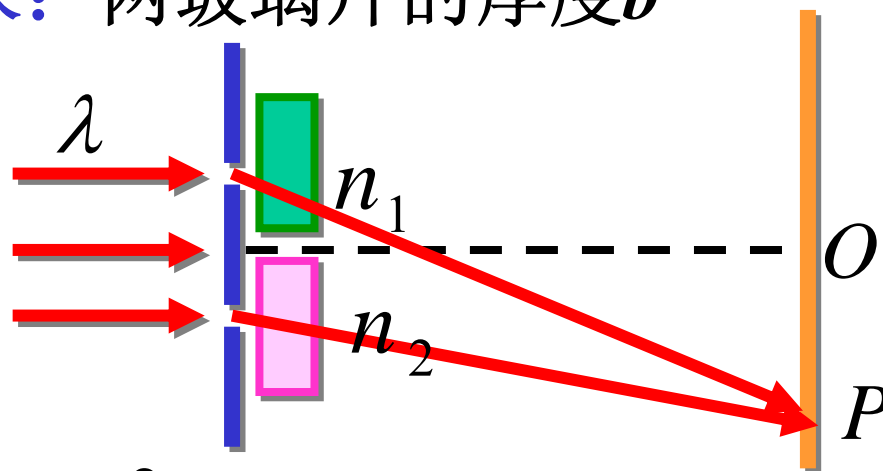
**例：**双缝中的一个缝 $S_1$ 用折射率为 $n_1=1.40$ 的薄玻璃片遮盖，另一个缝 $S_2$ 用相同厚度但折射率为 $n_2=1.70$ 的薄玻璃片遮盖，则屏上原来的零级明纹所在点，现在为第+5级明纹所占据。设 $\lambda=480nm$ ，**求：**两玻璃片的厚度 $b$

**解：**两缝均被薄玻璃片遮盖

两束光到某一点的相位差为

$$\frac{2\pi}{\lambda} \left\{ [(r_2 - b) + n_2 b] - [(r_1 - b) + n_1 b] \right\}$$

$$= \frac{2\pi}{\lambda} [(r_2 - r_1) + \underbrace{(n_2 - 1)b}_{\text{magenta dashed}} - \underbrace{(n_1 - 1)b}_{\text{green dashed}}] = \frac{2\pi}{\lambda} [(r_2 - r_1) + (n_2 - n_1)b]$$



与原来相比光程差的改变量为  $(n_2 - n_1)b = \Delta k \lambda = (5 - 0)\lambda$

$$b = \frac{5\lambda}{n_2 - n_1} = \frac{5 \times 4800 \times 10^{-10}}{1.70 - 1.40} = 8 \times 10^{-6} (m) = 8 (\mu m)$$

**例：**若将双缝装置浸入折射率为 $n$ 的水中，那么条纹的间距增加还是减小？

**解：**入射光在水中的波长变为

$$\lambda' = \frac{\lambda}{n} \quad \lambda: \text{真空中的波长}$$

两条光路的相位差变为

$$\Delta\varphi = \frac{2\pi}{\lambda'}(r_2 - r_1) = \frac{2\pi}{\lambda}n(r_2 - r_1) = \frac{2\pi}{\lambda}\delta \quad \Leftarrow \delta = n(r_2 - r_1)$$

• 明纹  $\Delta\varphi = 2k\pi$ ,  $k = 0, \pm 1, \pm 2, \dots$  光程差  $\delta = k\lambda = n(r_2 - r_1)$

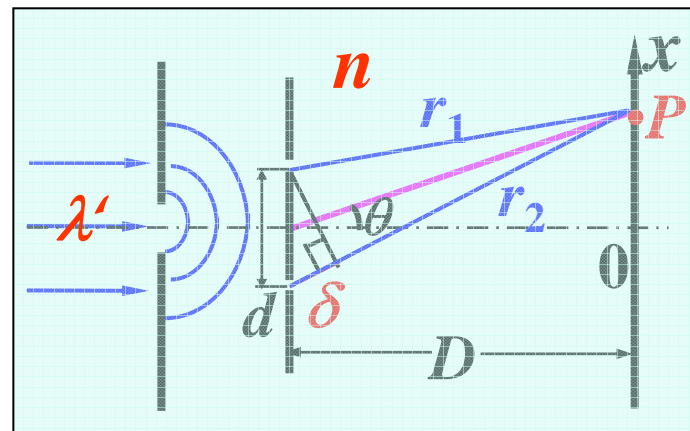
$$r_2 - r_1 = \frac{k\lambda}{n} = k\lambda' \quad \text{由几何关系 } r_2 - r_1 \approx d \cdot \frac{x}{D} \Rightarrow \frac{k\lambda}{n} = d \cdot \frac{x}{D}$$

$k$ 级明纹的位置

$$x'_k = k \frac{D\lambda}{dn} = k \frac{D}{d} \lambda'$$

相邻明纹(或暗纹)的间距

$$\Delta x' = \frac{D}{d} \lambda' = \frac{D\lambda}{dn} = \frac{\Delta x}{n} < \Delta x$$



### 3. 透镜不会产生附加光程差

- 平行光线A、B、C入射到透镜上  
考察同一波面上的 $a$ 、 $b$ 、 $c$ 三点  
通过透镜前， $a$ 、 $b$ 、 $c$ 同相位

它们通过透镜后会聚于 $f$ 、 $f'$

$f$ 、 $f'$ 都是亮点 $\rightarrow$ 各光线同相叠加

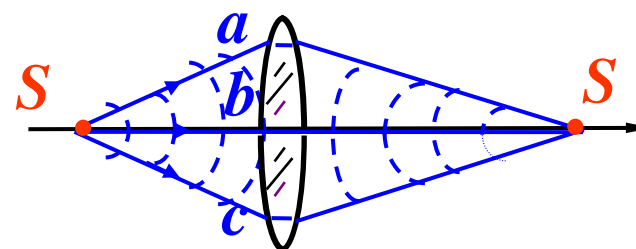
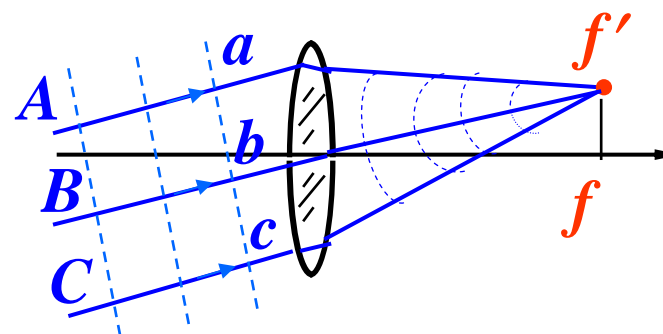
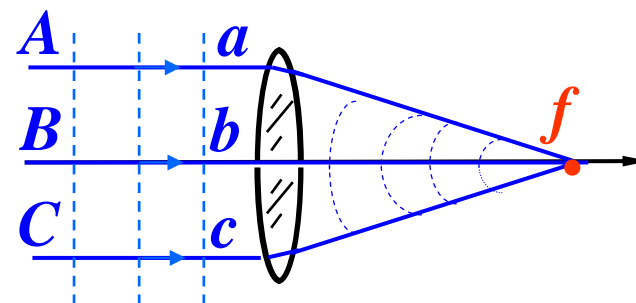
$Aaf$ 、 $Bbf$ 、 $Ccf$  三条光路等光程

- 物点 $S$ 经过透镜成像

$a$ 、 $b$ 、 $c$ 在同一波面上，同相位  
通过透镜后在 $S'$ 点成像

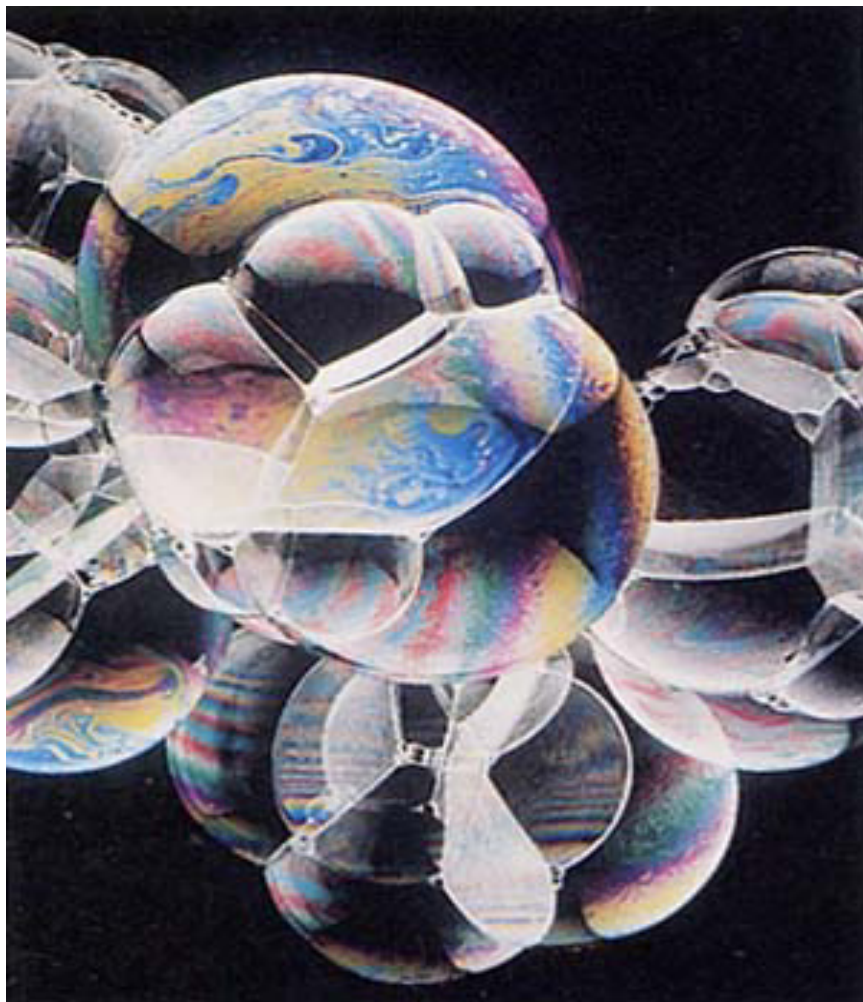
像点 $S'$ 是亮点，各光线同相叠加

物点和像点之间的各光线都是等光程的

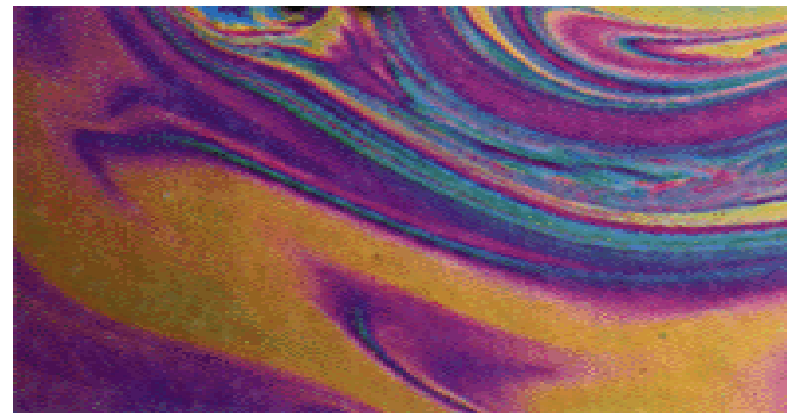


## § 4 分振幅干涉

### 4.1 薄膜干涉



肥皂泡上的彩色花纹



阳光下的油膜



昆虫翅膀

## 1. 薄膜干涉的成因

以阳光下的油膜为例，人眼观察薄膜表面上任一点**B**从光源**S**点发出的光线在薄膜表面**B**处形成反射光线***a***折射光经薄膜下表面反射到上表面，又折射成光线***b***光线 ***a*** 和 ***b*** 来自同一光束(同一个波列)

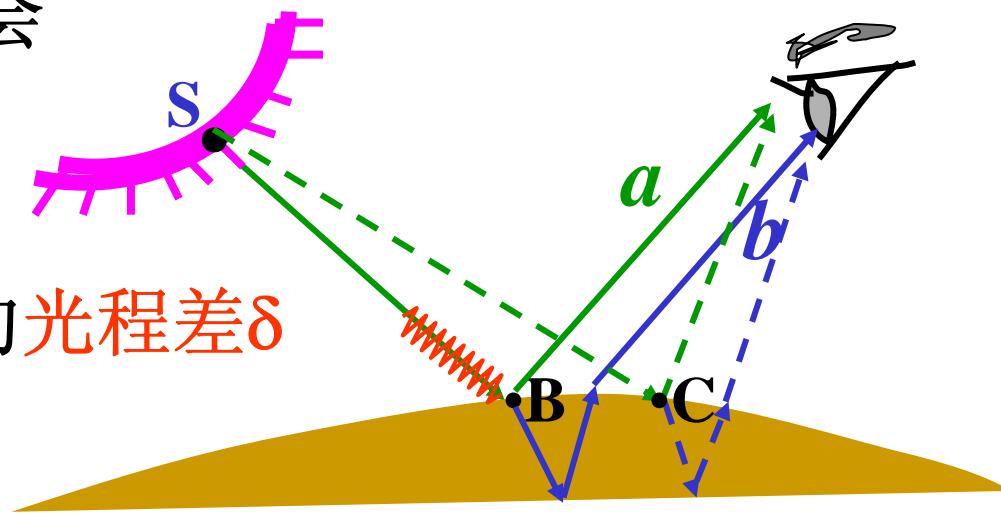
频率相同、振动方向相同、初相位相同，为**相干光**，经过人眼(透镜)会聚一点，发生干涉现象。

对薄膜上其他各点也会形成两束反射光

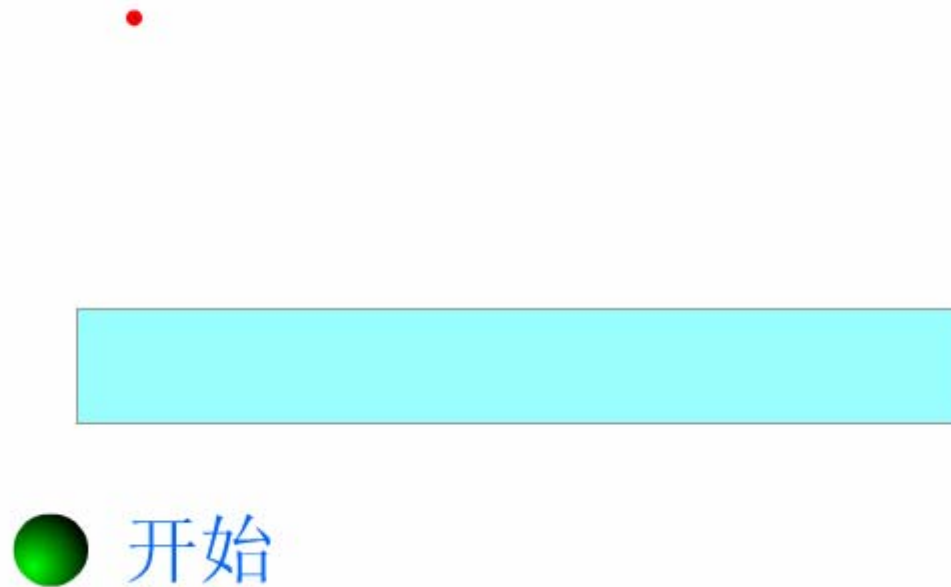
对单色光入射，

**B**处的明暗取决于***a***和***b***的**光程差 $\delta$**

阳光为复色光，所以看到的是彩色条纹。



产生相干的反射光和折(透)射光来自同一束入射光  
入射光的能量分成了反射光的能量和透射光的能量  
形象地说成：振幅被“分割”成了两部分——分振幅法



▲膜为何要薄？ — 光的相干长度(波列长度)所限  
膜的薄、厚是相对的，与光源的单色性好坏有关

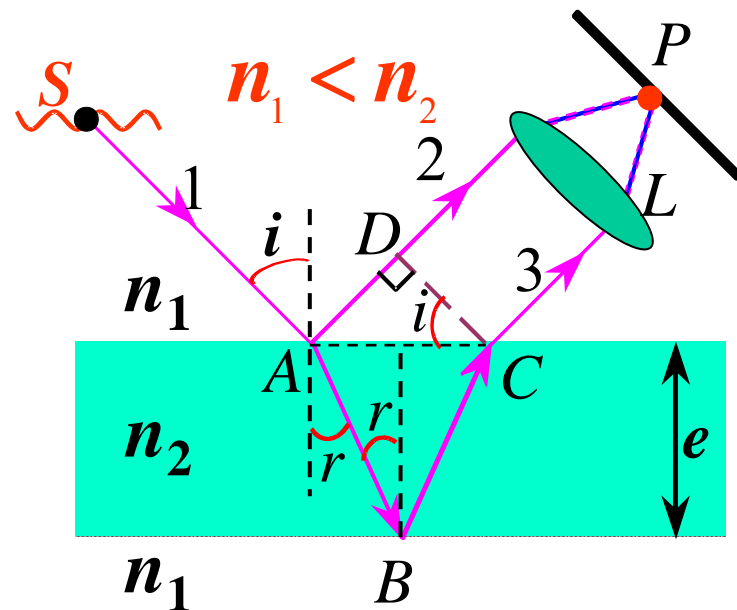
**判断题： #T5103.**

窗玻璃也有两个表面，但由于玻璃是透明的，反射很弱，所以观察不到干涉条纹。



## 2. 两束反射光线的光程差

设薄膜厚度为 $e$ ，折射率为 $n_2$   
处于折射率为 $n_1$  ( $n_1 < n_2$ ) 的介质中  
光线2和3平行，经透镜会聚于 $P$   
∵ 初相位相同，相位差 → 光程差  
透镜不产生附加光程差  
过C做光线2的垂线CD



在 $P$ 点的光程差  $\delta = n_2(AB + BC) - n_1AD + \lambda/2$

光线2是由光疏媒质入射到光密媒质反射而成，  
在反射点A要发生半波损失，在B点会发生半波损失吗？  
过A点做两介质面的法线，入射角为 $i$ ，折射角为 $r$

$$AB = BC = \frac{e}{\cos r}, \quad AD = AC \sin i = 2e \cdot \tan r \cdot \sin i \leftarrow \frac{AC}{2} = e \cdot \tan r$$



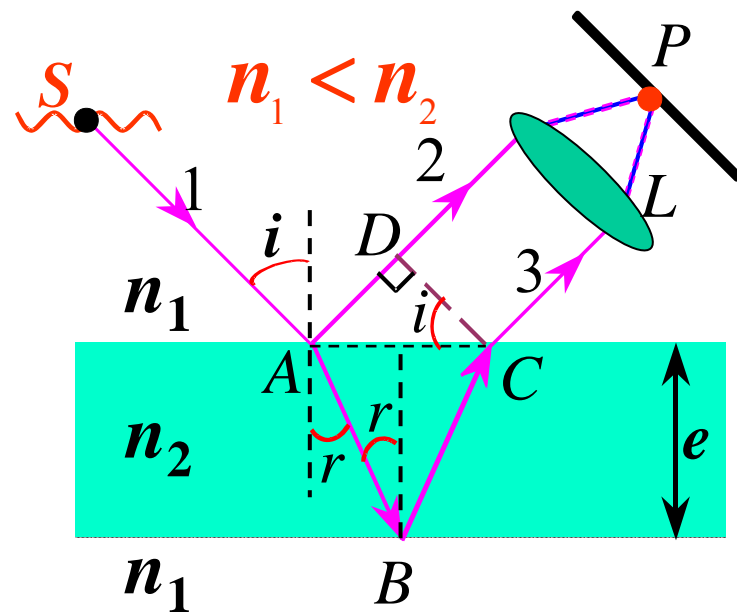
$$\begin{aligned}\delta &= n_2(AB + BC) - n_1 AD + \frac{\lambda}{2} \\ &= 2n_2 \frac{e}{\cos r} - 2n_1 e \cdot \operatorname{tgr} \cdot \sin i + \frac{\lambda}{2}\end{aligned}$$

由折射定律  $n_1 \sin i = n_2 \sin r$

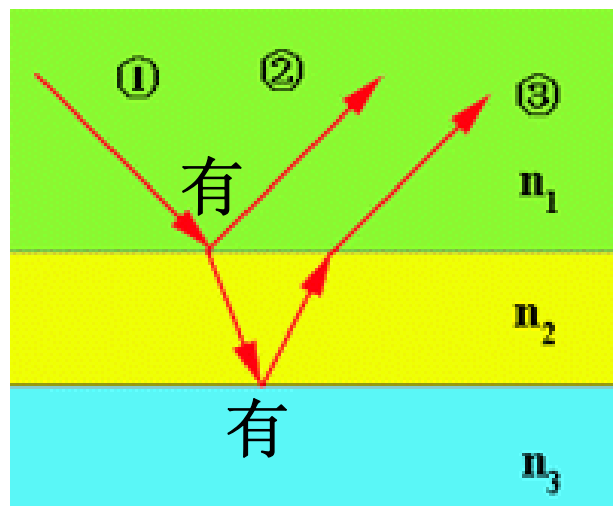
$$\begin{aligned}\delta &= \frac{2n_2 e}{\cos r} - 2n_2 e \frac{\sin r}{\cos r} \sin r + \frac{\lambda}{2} \\ &= \frac{2n_2 e}{\cos r} (1 - \sin^2 r) + \frac{\lambda}{2} = 2en_2 \cos r + \frac{\lambda}{2}\end{aligned}$$

$$n_1^2 \sin^2 i = n_2^2 \sin^2 r = n_2^2 (1 - \cos^2 r) \Rightarrow n_2 \cos r = \sqrt{n_2^2 - n_1^2 \sin^2 i}$$

$$\delta = 2e\sqrt{n_2^2 - n_1^2 \sin^2 i} + \frac{\lambda}{2} = \begin{cases} k\lambda & k = 1, 2, 3, \dots \text{ 明纹} \\ (2k+1)\frac{\lambda}{2} & k = 0, 1, 2, \dots \text{ 暗纹} \end{cases}$$

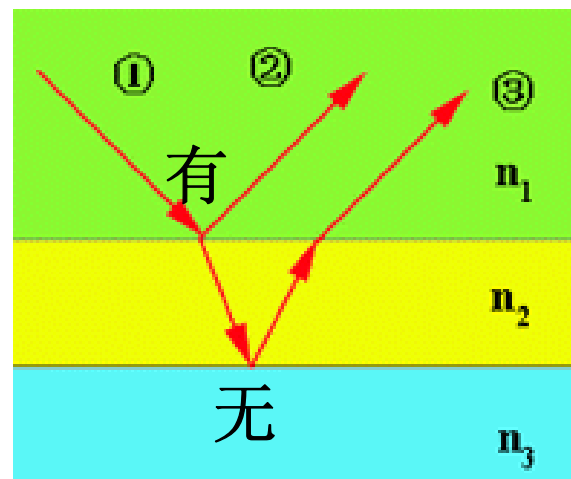


•Case1:  $n_1 < n_2 < n_3$



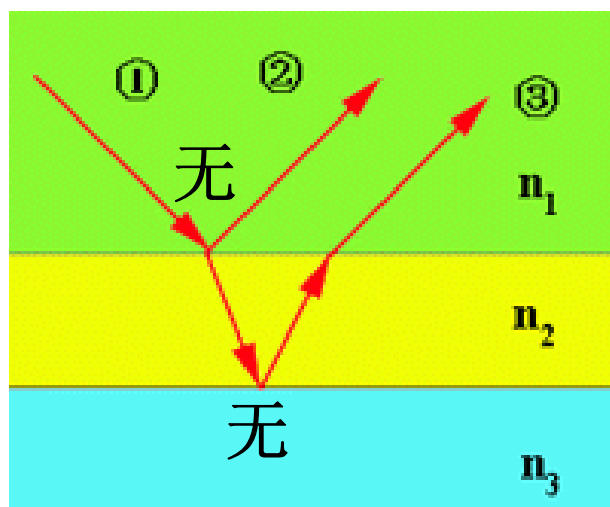
}  $\frac{\lambda}{2}$

•Case3:  $n_1 < n_2 > n_3$

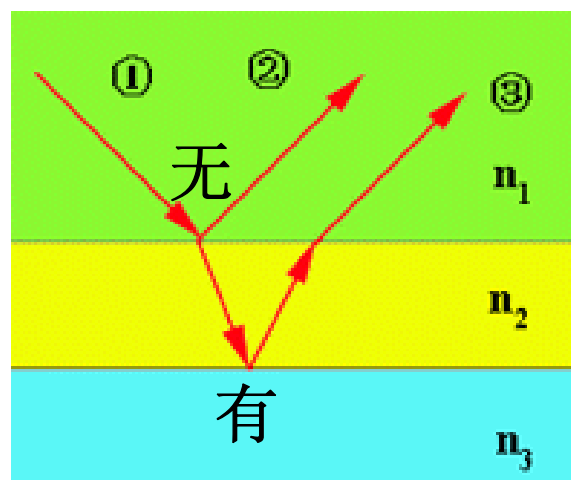


}  $\frac{\lambda}{2}$

•Case2:  $n_1 > n_2 > n_3$



•Case4:  $n_1 > n_2 < n_3$



### 3. 增透膜、增反膜

经过薄膜的两束透射光线  
4和5也有干涉现象

过E做光线4的垂线EF

光线4是由两次透射形成，  
无半波损失

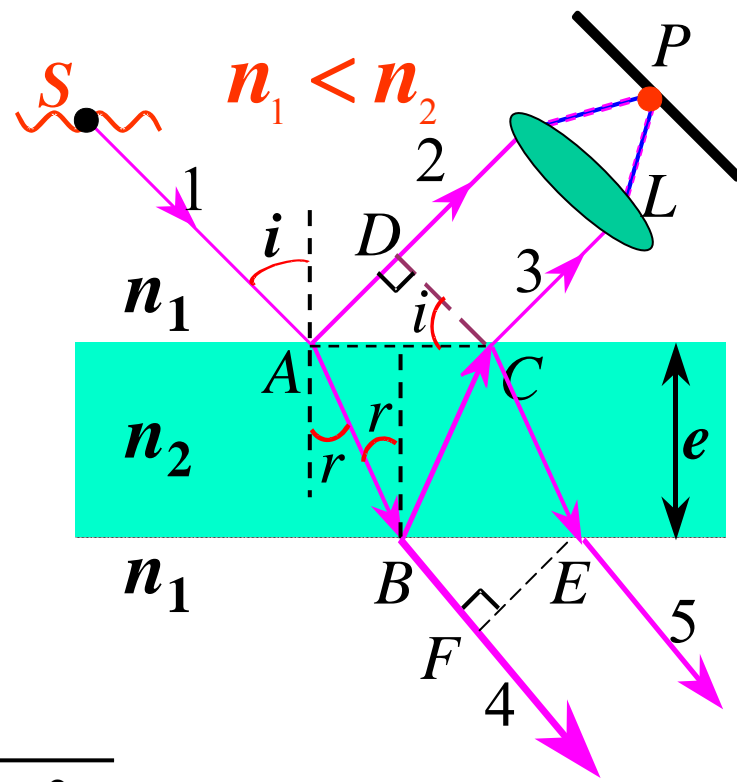
光线5在点B、C处反射均为  
光密→光疏，没有半波损失

对透射光4和5:  $\delta = 2e\sqrt{n_2^2 - n_1^2 \sin^2 i}$

对反射光2和3:  $\delta = 2e\sqrt{n_2^2 - n_1^2 \sin^2 i} + \frac{\lambda}{2}$

若透射光干涉相长，则反射光一定干涉相消 → 增透膜

若反射光干涉相长，则透射光一定干涉相消 → 增反膜



能量守恒

## ►镜头为什么呈紫红色？

镜头上涂有一层 $\text{MgF}_2$ 薄膜，  
以使人眼最敏感的黄绿光  
( $\lambda=550\text{nm}$ )增透，

即此波长的光反射相消

$n_1 < n_2 < n_3$ ，反射光的光程差

$$\delta = 2e\sqrt{n_2^2 - n_1^2 \sin^2 i} = 2en_2 \leftarrow \text{若光垂直入射}(i=0)$$

•相消条件  $2n_2e = (k + 1/2)\lambda \quad k = 0, 1, 2, 3 \dots$

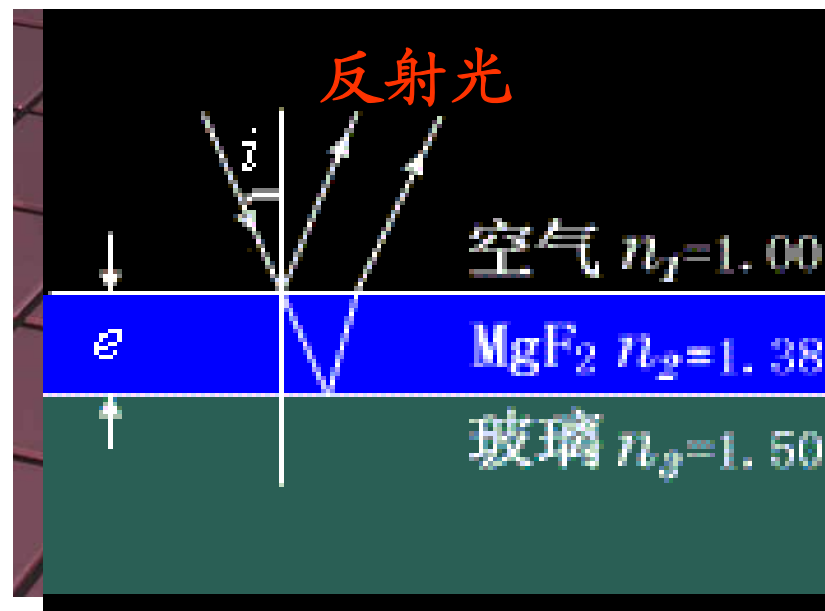
若取 $k=1$ ，则增透膜的厚度  $e = 3\lambda/(4n_2) \approx 299\text{nm}$

此厚度的增透膜在可见光范围内有没有增反？

演示

•相长条件  $2n_2e = k\lambda \quad k = 1, 2, 3 \dots$  可见光 $400\sim 700\text{nm}$

$k = 1, \lambda_1 = 825\text{nm}$      $k = 2, \lambda_2 = 412.5\text{nm} \checkmark$      $k = 3, \lambda_3 = 275\text{nm}$



**例：**折射率 $n=1.32$ 的肥皂膜处于空气中，在白光照射下，若从 $30^\circ$ 方向观察(反射光)，肥皂膜呈黄色( $\lambda=5500\text{\AA}$ )

**求：**(1)膜的最小厚度；

(2)与法线成 $60^\circ$ 方向观察，膜的颜色；

(3)垂直照射，膜的颜色？

**解：**(1)两反射光的光程差

$$\delta = 2e\sqrt{n^2 - n'^2 \sin^2 i} + \frac{\lambda}{2} = k\lambda \quad k=1,2,3\cdots \quad \text{相长}$$

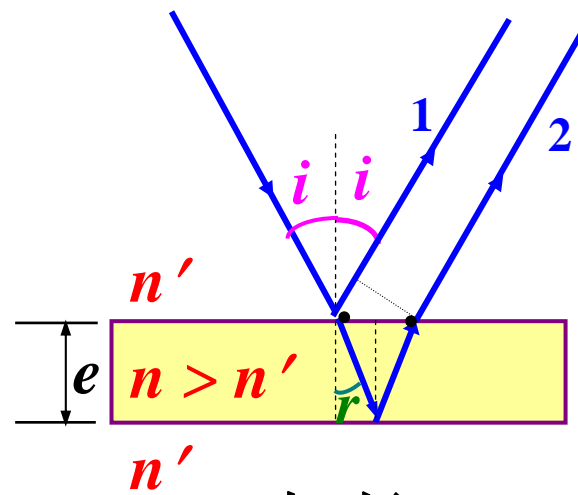
将 $i=30^\circ$ ,  $\lambda=5500\text{\AA}$ ,  $n=1.32$ ,  $n'=1$ 代入上式

相长时,  $k$ 从1开始, 所以最小厚度为 $e_{\min}=112.6\text{nm}$

(2)将 $i=60^\circ$ ,  $e=e_{\min}=112.6\text{nm}$ ,  $n=1.32$ ,  $n'=1$ , 代入上式

$k=1$ 时为可见光,  $\lambda=4886.8\text{\AA}$  青色

(3)将 $i=0$ ,  $e=e_{\min}=112.6\text{nm}$ 等代入,  $k=1$ 时  $\lambda=5945\text{\AA}$  黄色



## 4.2 等厚条纹

$$\delta = 2e\sqrt{n_2^2 - n_1^2 \sin^2 i} + \frac{\lambda}{2} = \begin{cases} k\lambda & k=1,2,3,\dots \text{明纹} \\ (2k+1)\frac{\lambda}{2} & k=0,1,2,\dots \text{暗纹} \end{cases}$$

对一定的介质( $n_1, n_2$ ), 光程差 $\delta$ 取决于厚度 $e$ 及入射角 $i$   
分别针对 $e$ 和 $i$ 不同→两种情况: 等厚干涉、等倾干涉

➤固定入射角, 比如当 $i=0$ (正入射)

$$\delta(e) = 2en_2 + \frac{\lambda}{2} = \begin{cases} k\lambda, & k=1,2,3,\dots & \text{明纹} \\ (2k+1)\frac{\lambda}{2}, & k=0,1,2,\dots & \text{暗纹} \end{cases}$$

光程差取决于薄膜的厚度

对于厚度相同的点, 其明暗的情况相同

同一厚度 $e$ 对应同一级条纹 —— 等厚条纹

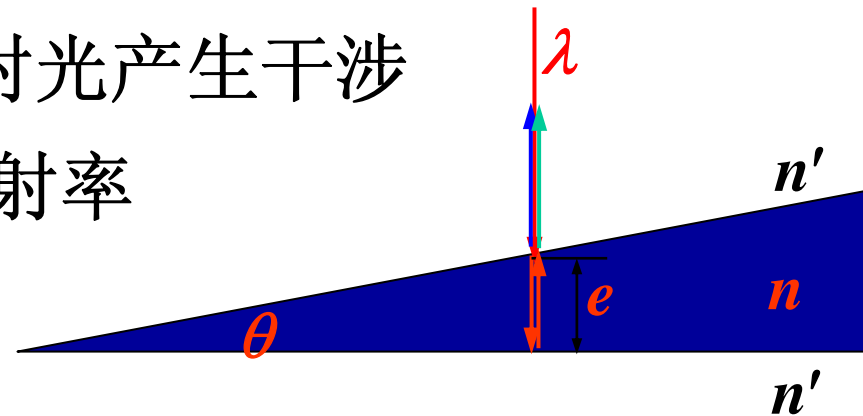
## 1. 劈尖

夹角很小的两个平面所构成的薄膜  $\theta: 10^{-4} \sim 10^{-5} \text{ rad}$

如图若入射角  $i \approx 0$ ，两束反射光产生干涉

设两边的折射率  $\neq$  薄膜的折射率

有半波损失  $\delta = 2en + \frac{\lambda}{2}$



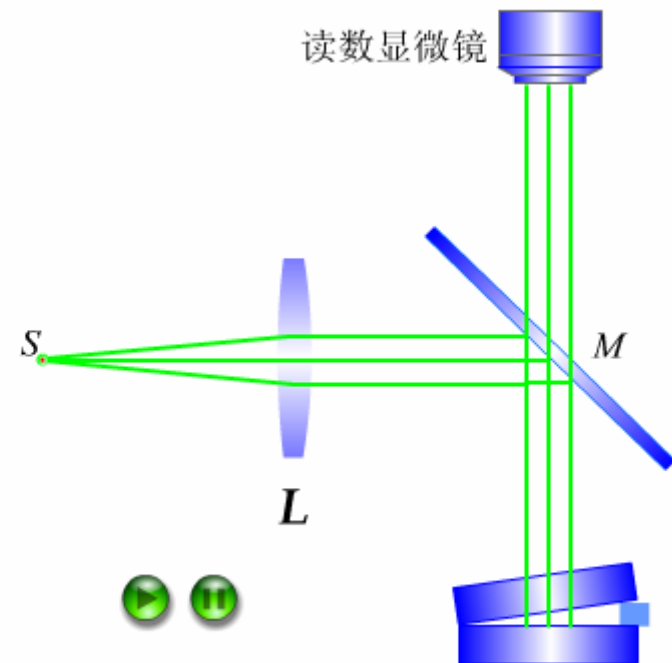
### (1) 条纹特点及变化

- 劈棱处  $e=0$   $\delta=\lambda/2$  暗纹

- 各级暗纹位置(厚度)

$$2en + \frac{\lambda}{2} = (2k+1)\frac{\lambda}{2} \Rightarrow e_k = \frac{k\lambda}{2n}$$

- 相邻暗纹的厚度差  $\Delta e = \frac{\lambda}{2n}$



• 相邻明纹的厚度差  $2ne + \frac{\lambda}{2} = k\lambda$

$$2n\Delta e = \Delta k\lambda \Rightarrow \Delta e = \frac{\lambda}{2n}$$

• 相邻条纹的间距  $\Delta e = b \sin \theta \approx b \theta$

$$b \approx \frac{\Delta e}{\theta} = \frac{\lambda}{2n\theta} \quad \sin \theta = \frac{D}{L} \Rightarrow b = \frac{\lambda L}{2nD}$$

• 若  $\theta \downarrow$ ，则  $b \uparrow$ ，条纹变疏；若  $\theta \uparrow$ ，则  $b \downarrow$ ，条纹变密

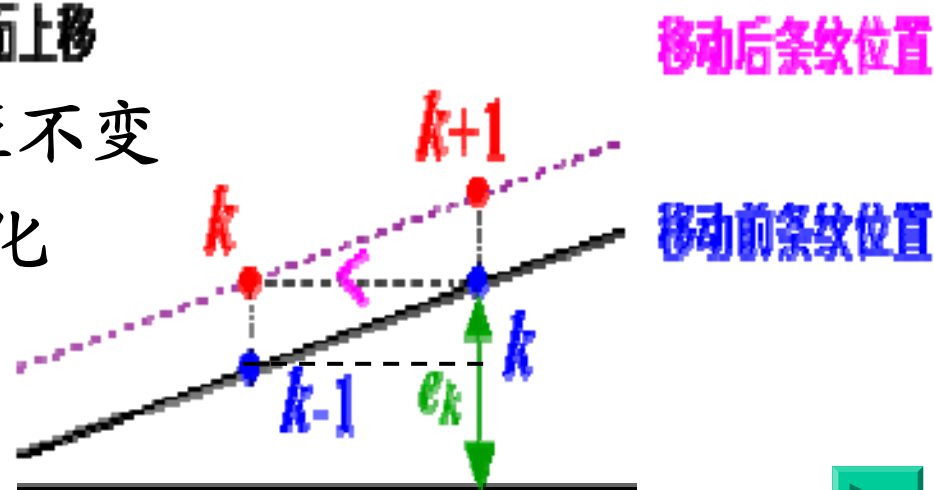
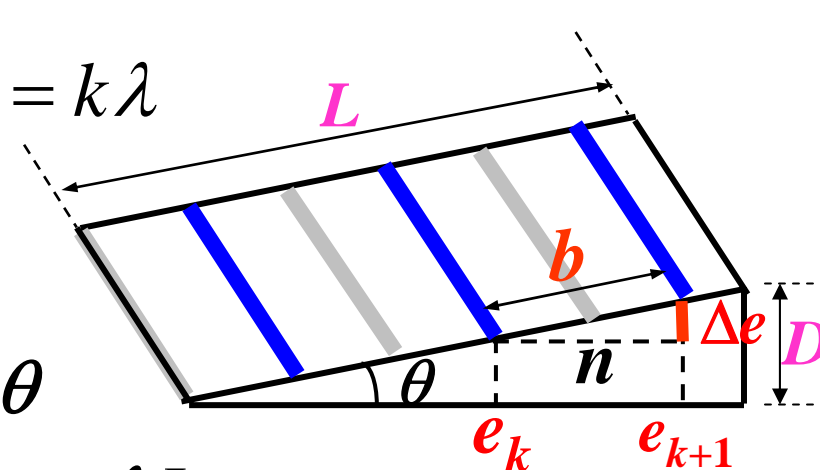
• 膜厚变化的影响 薄膜上表面上移

条纹向劈棱方向平移，间距不变

每移动1个条纹，膜厚的变化

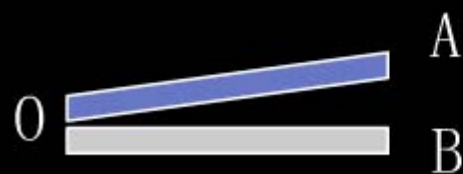
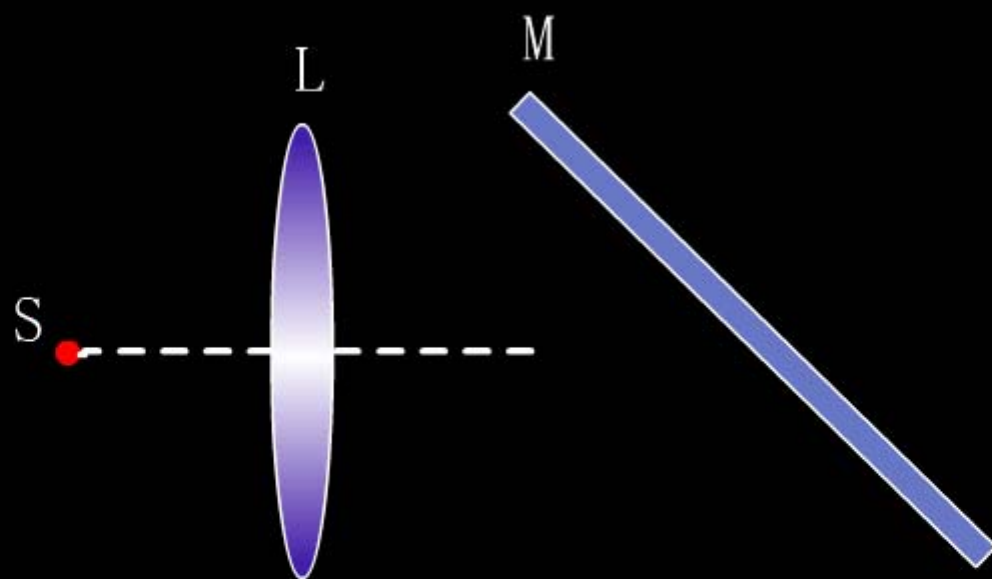
即相邻条纹的厚度差：

$$\Delta e = \frac{\lambda}{2n}$$





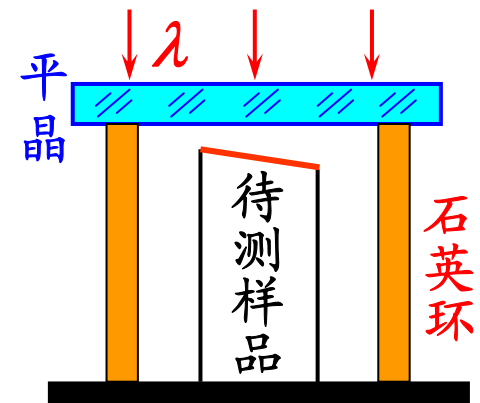
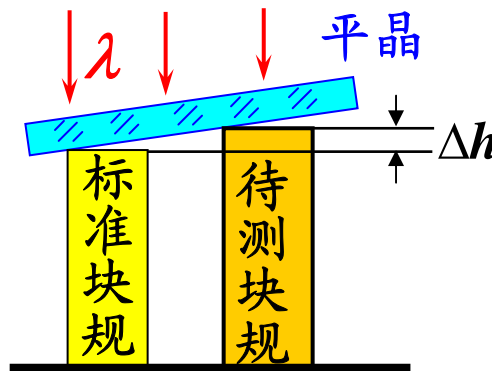
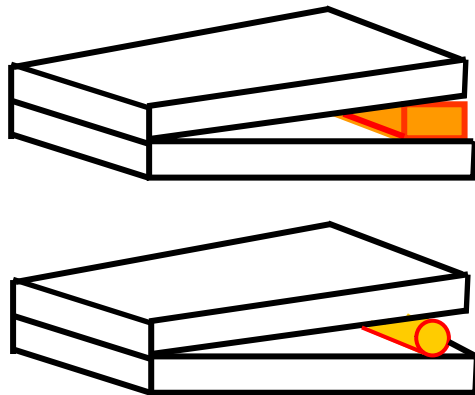
# 劈尖干涉



## (2) 劈尖的应用

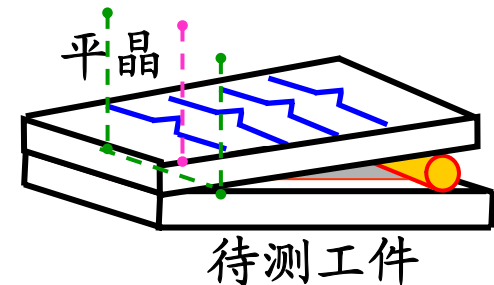
相邻条纹间距  $b = \frac{\lambda}{2n\theta} = \frac{\lambda L}{2nD}$

- 测  $b$ , 求波长  $\lambda$ 、折射率  $n$ 、细小厚度(直径)、微小变化
- 干涉膨胀仪：用于测量固体样品微小的热膨胀系数



- 测量表面平整度

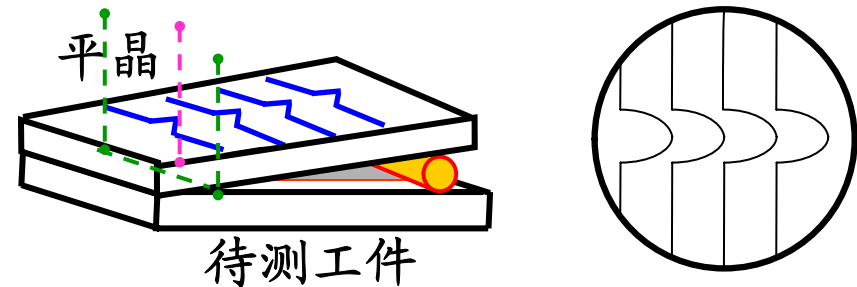
同一条纹对应的空气薄膜厚度相同，  
若条纹朝偏离劈棱方向弯曲，  
说明待测平面上有隆起。



## 选择题： #S5104.

用劈尖干涉检测工件的表面，当波长为 $\lambda$ 的单色光入射时，观察到的干涉条纹如图所示，每一条纹弯曲部分的顶点恰与**右邻**条纹的直线部分的连线相切，则可知工件表面 [ A ]

- A. 有一凸起，高为 $\lambda/2$
- B. 有一凸起，高为 $\lambda/4$
- C. 有一凹陷，深为 $\lambda/2$
- D. 有一凹陷，深为 $\lambda/4$

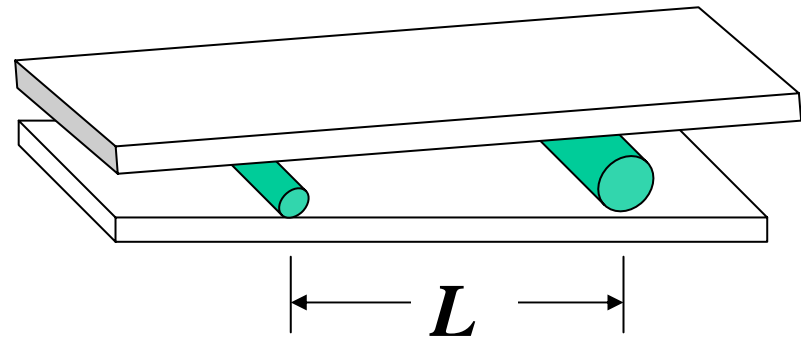


相邻条纹的**厚度差**  $\Delta d = \frac{\lambda}{2n}$

### 选择题： #S5105.

如图，两个直径有微小差别 $\Delta D$ 的彼此平行的滚柱之间的  
距离为 $L$ ，夹在两块平面晶体的中间，形成空气  
劈形膜，当单色光垂直入射时，产生等厚干涉条纹。  
如果滚柱之间的距离 $L$ 变小，则在 $L$ 范围内干涉条纹  
的间距 $b$ 和数目 $N$ 如何变化？

- (1) 间距增大，数目减少；
- (2) 间距减小，数目增多；
- (3) 间距增大，数目不变；
- (4) 间距减小，数目不变；
- (5) 间距不变，数目减少；
- (6) 间距不变，数目增多。

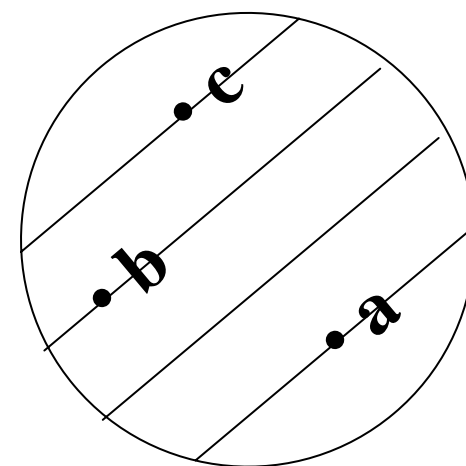


$$\sin \theta = \frac{\Delta e}{b} = \frac{\lambda/2}{b} \quad N = \frac{\Delta D}{\Delta e}$$

## 选择题： #S5106.

两块圆形平玻璃板之间，夹着3个直径相近的小钢珠a、b、c，用单色平行光垂直照射，观察到下图所示的等厚条纹。

若在钢珠a处下压上面的平玻璃板，发现干涉条纹变密。



由上可知，三个钢珠的直径：

(1)  $d_a > d_b > d_c$ ,  $d_a - d_b = \lambda/2$ ,  $d_b - d_c = \lambda$ ;

(2)  $d_a > d_b > d_c$ ,  $d_a - d_b = \lambda$ ,  $d_b - d_c = \lambda/2$ ;

(3)  $d_a < d_b < d_c$ ,  $d_a - d_b = \lambda/2$ ,  $d_b - d_c = \lambda$ ;

(4)  $d_a < d_b < d_c$ ,  $d_a - d_b = \lambda$ ,  $d_b - d_c = \lambda/2$ .

## 判断题： #T5104.

观察反射光形成的劈尖干涉条纹：  
若在三块玻璃之间形成劈尖状空气薄膜，  
由于半波损失，在劈棱处为暗条纹。  
若反过来，  
将一块玻璃腐蚀成劈尖状并放置于空气中，  
则劈棱处为明条纹。

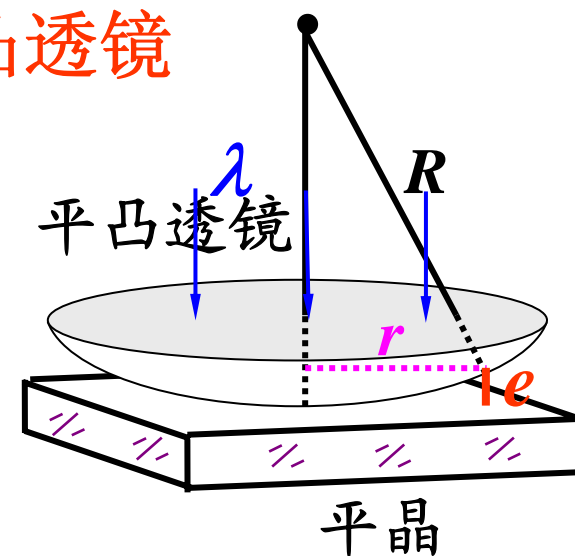
## 2. 牛顿环

在平晶上，放一曲率半径 $R$ 很大的平凸透镜  
在二者之间形成一圈环形空气薄膜

$$\text{光程差 } \delta = 2en + \frac{\lambda}{2} = 2e + \frac{\lambda}{2} \leftarrow n = 1$$

$$r^2 = R^2 - (R - e)^2 = 2Re - e^2 \approx 2Re$$

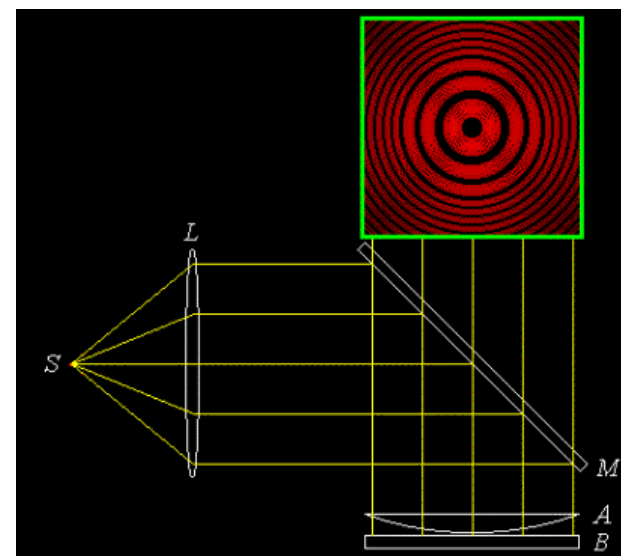
$$e = \frac{r^2}{2R} \quad \therefore \delta = \frac{r^2}{R} + \frac{\lambda}{2} \quad \text{相同 } r \rightarrow \text{同级条纹}$$



### (1) 条纹特点及变化

- 一系列不同 $r$ 的圆环——牛顿环
- 各级暗环半径

$$\frac{r^2}{R} + \frac{\lambda}{2} = (2k + 1) \frac{\lambda}{2} \Rightarrow r_k = \sqrt{kR\lambda}$$



$k$ 级暗环半径  $r_k = \sqrt{kR\lambda} \propto \sqrt{k}$

中心接触点( $r=0, e=0$ )为0级暗斑, 级次: 内低外高

• 条纹间距  $\Delta r \propto (\sqrt{k} - \sqrt{k-1})$   $k \uparrow, \Delta r \rightarrow 0$  内疏外密

• 明环半径  $\frac{r^2}{R} + \frac{\lambda}{2} = k\lambda \Rightarrow r_k = \sqrt{\frac{(2k-1)R\lambda}{2}}$   $k = 1, 2, 3 \dots$

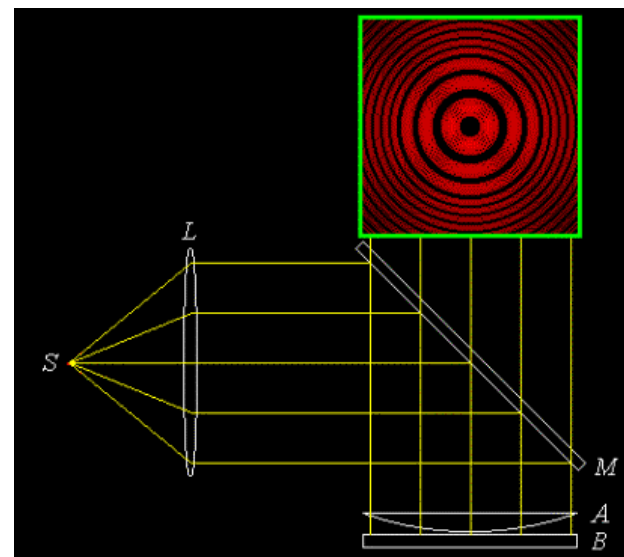
• 白光入射: 对同一级条纹,  $\lambda \uparrow$ , 则  $r_k \uparrow$ , 内紫外红

• 平凸透镜上移距离  $d$  向内陷入

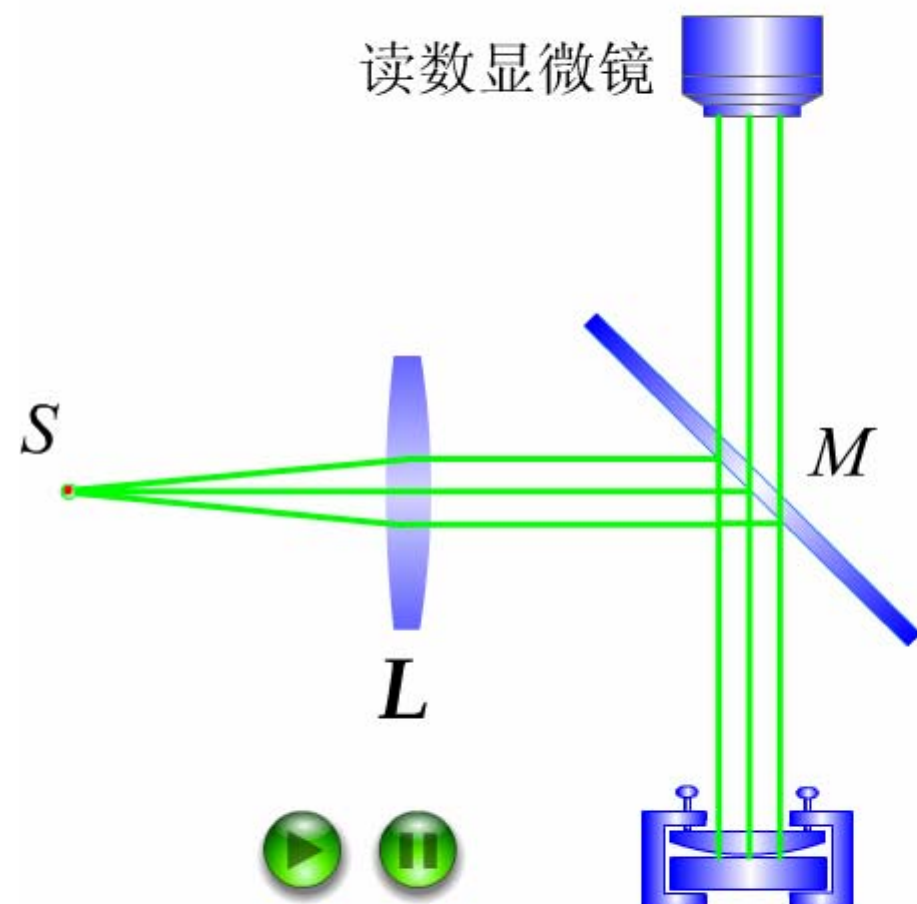
$\delta = \frac{r^2}{R} + 2d + \frac{\lambda}{2} = k\lambda$   $r$ 不变,  $\delta \uparrow$ , 则  $k \uparrow$

• 透射光的干涉

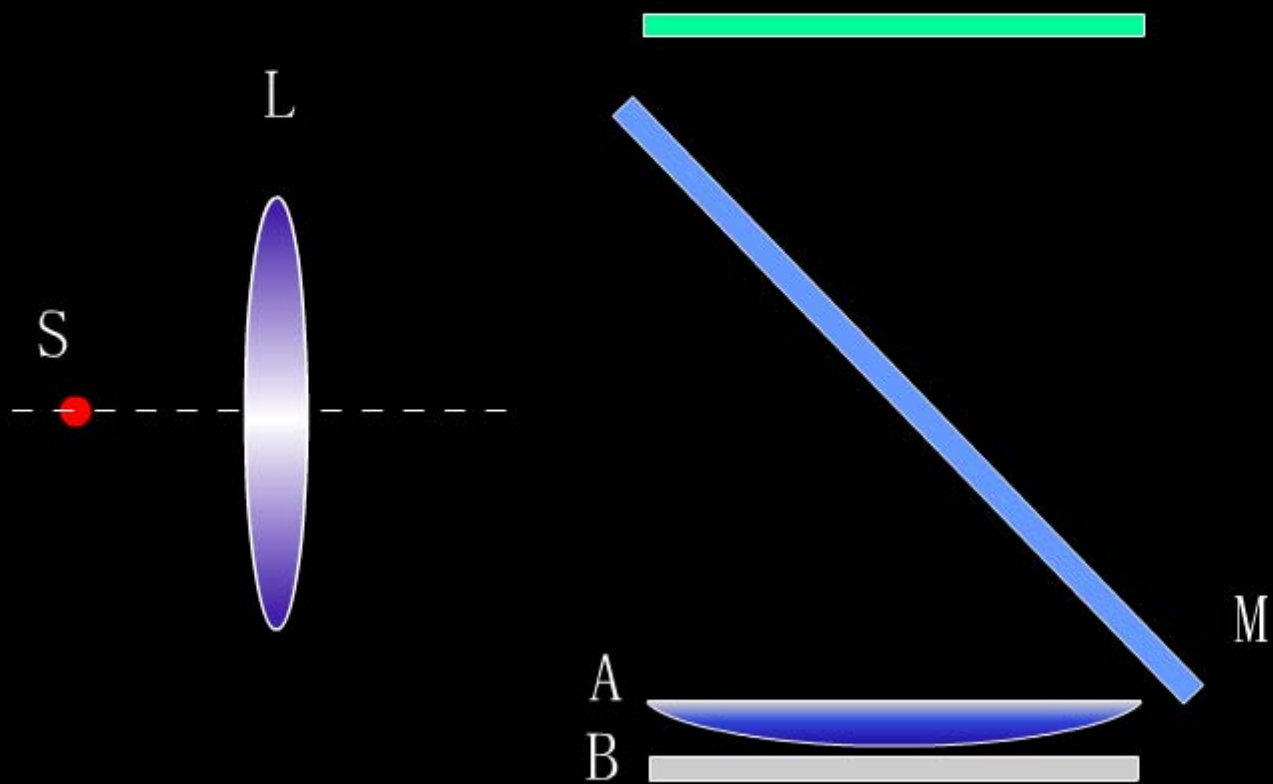
条纹的明暗与反射时恰好相反,  
在接触点为亮斑。(为什么)?







# 牛顿环



**选择题： #S5107.**

若将课本中所介绍的牛顿环实验装置放入水中，  
则所得干涉图样会怎样的变化？

- (1) 半径增大，间距增大；
- (2) 半径减小，间距减小；
- (3) 半径增大，间距不变；
- (4) 半径减小，间距不变。

$$2n \cdot \frac{r^2}{2R} + \frac{\lambda}{2} = (2k+1) \frac{\lambda}{2} \Rightarrow r_k = \sqrt{kR \lambda / n} = \sqrt{kR \lambda'}$$

## (2) 牛顿环的应用

第 $k$ 级暗环半径  $r_k = \sqrt{kR\lambda}$

$$\Rightarrow r_{k+\Delta k}^2 - r_k^2 = \Delta k R \lambda$$

- 已知波长 $\lambda$ ，测透镜的曲率半径 $R$
- 已知透镜的曲率半径 $R$ ，测波长 $\lambda$
- 检验透镜表面质量

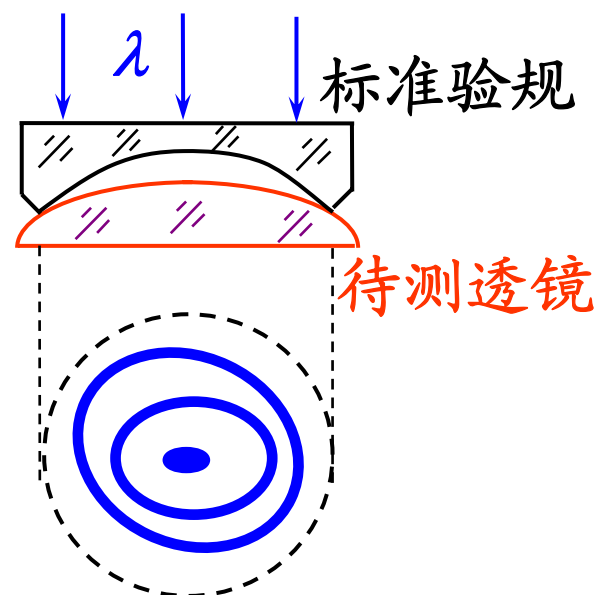
图示条纹说明待测透镜表面不规则

**例：**用 $\lambda=0.633\mu\text{m}$ 的单色光做牛顿环实验，测得第 $k$ 个暗环半径为 $5.63\text{mm}$ ，第 $k+5$ 个暗环半径为 $7.96\text{mm}$ ，

**求：**平凸透镜的曲率半径 $R$

**解：**由  $r_{k+5}^2 - r_k^2 = 5R\lambda$

$$R = \frac{r_{k+5}^2 - r_k^2}{5\lambda} = \frac{(7.96^2 - 5.63^2) \times 10^{-6}}{5 \times 6.33 \times 10^{-10}} = 10.0\text{m}$$



**例：**图示装置下半部分为一**圆柱形**凹面，用波长为 $\lambda$ 的平行单色光垂直照射，观察**空气薄膜**上下表面**反射光**形成的等厚条纹，计算并画出各级**暗纹**的位置。

**解：**反射光形成的暗纹

$$\delta = 2en + \frac{\lambda}{2} = 2e + \frac{\lambda}{2} = (2k + 1) \frac{\lambda}{2}$$

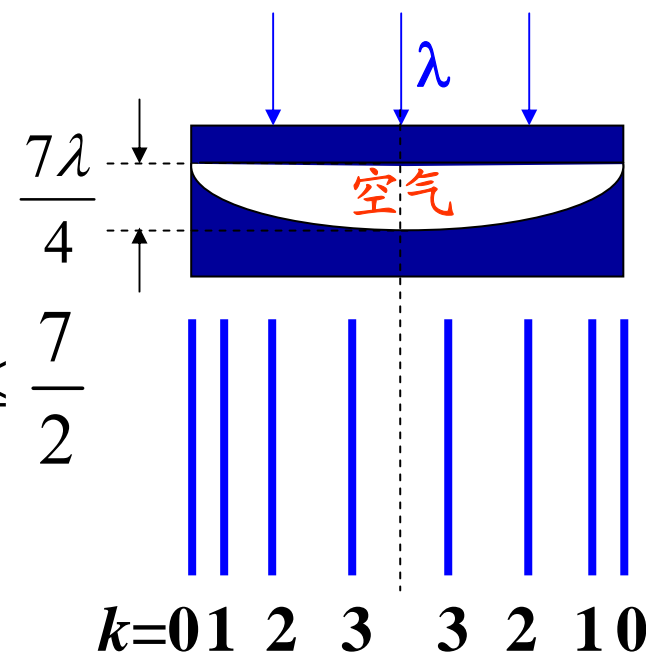
$$\Rightarrow 2e = k\lambda \quad \because 0 \leq e \leq \frac{7\lambda}{4} \quad \therefore 0 \leq k \leq \frac{7}{2}$$

$k$ 可以取**0, 1, 2, 3**

当 **$k=0$** ， **$e=0$** ，在薄膜的两个边缘处

当 **$k=3$** ， $e = \frac{3\lambda}{2} = \frac{6\lambda}{4} < \frac{7\lambda}{4}$  分列在薄膜最厚处的两侧

$e = 0, \frac{\lambda}{2}, \frac{2\lambda}{2}, \frac{3\lambda}{2}$  共**8条**平行暗纹    圆柱形→不是圆环



### 4.3 等倾条纹

$$\delta = 2e\sqrt{n^2 - n'^2 \sin^2 i} + \frac{\lambda}{2}$$

➤若薄膜厚度 $e$ 均匀  
光程差决定于倾角 $i$

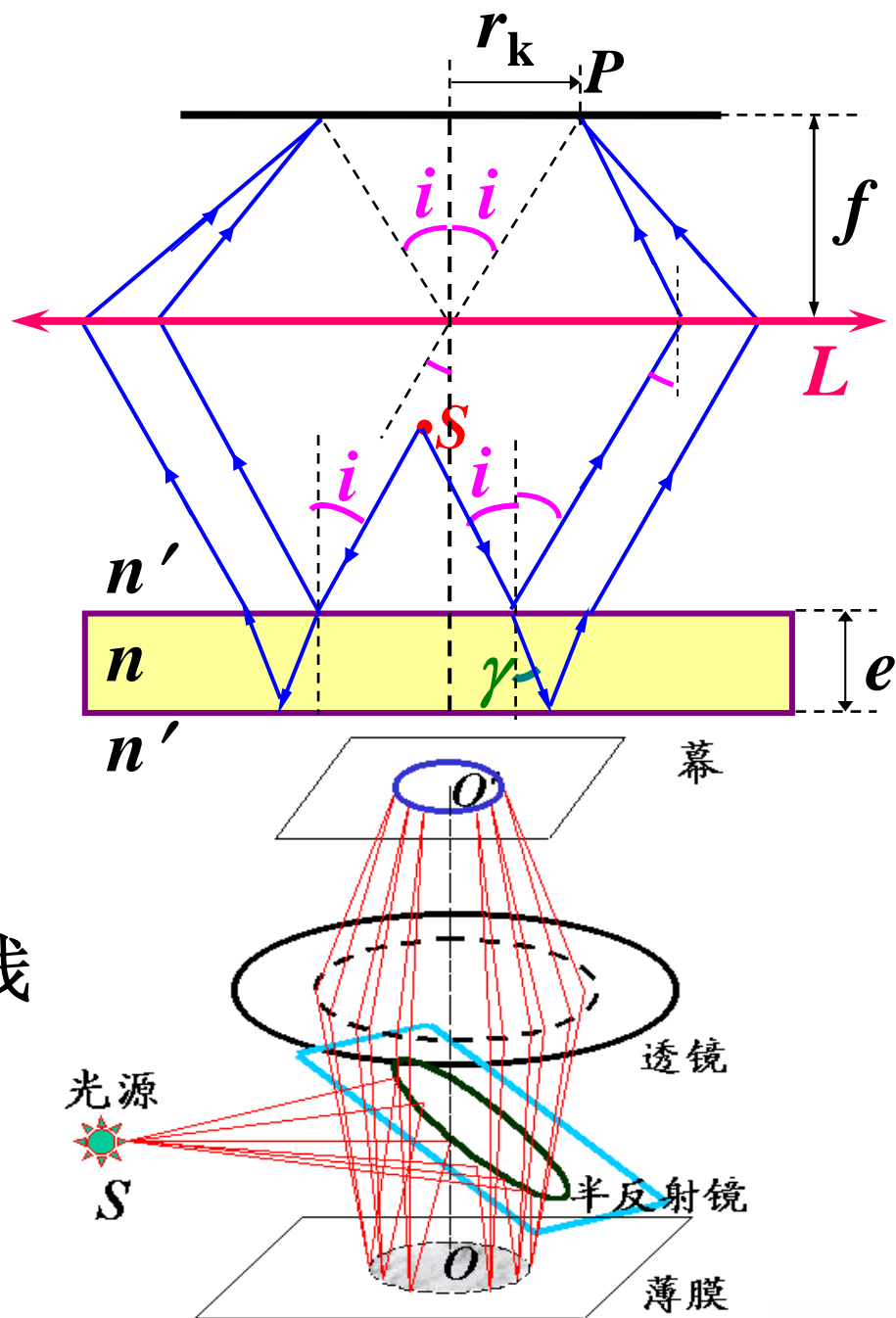
$$\delta(i) = \begin{cases} k\lambda, & k = 1, 2, 3 \dots \\ (2k+1)\frac{\lambda}{2}, & k = 0, 1, 2 \dots \end{cases}$$

相同倾角的光线对应同一级条纹——等倾条纹

$S$ 发出的同一光锥面上的光线  
在屏幕上形成一个圆环

半径 $r_k = f \tan i$  其中 $f$ 为焦距

注意区分半径 $r_k$ 和折射角 $\gamma$



## ▲条纹特点

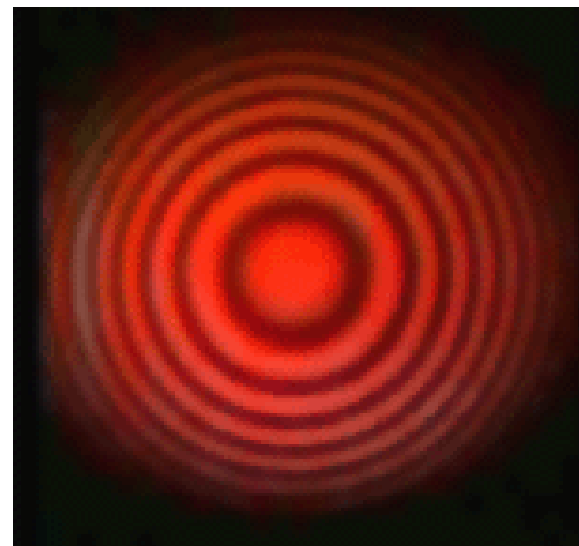
•形状:  $r_k = f \tan i$

对不同倾角, 形成一系列同心圆环

•条纹级次分布:

对明纹  $\delta(i) = 2e\sqrt{n^2 - n'^2 \sin^2 i} + \frac{\lambda}{2} = k\lambda$

$k \uparrow \rightarrow \delta \uparrow \rightarrow i \downarrow \rightarrow r_k \downarrow$  级次: 内高外低



•圆环中心O处, 级次最高 此处 $r_k=0$ ,  $i=0$

$\delta = 2ne + \frac{\lambda}{2} = k_o \lambda \leftarrow \text{若中心为明纹} \Rightarrow k_o = \frac{2ne}{\lambda} + \frac{1}{2} \leftarrow \text{暗纹}$

•波长对同级条纹的影响:  $2e\sqrt{n^2 - n'^2 \sin^2 i} = k\lambda - \frac{\lambda}{2}$

$k, e$  一定,  $\lambda \uparrow \rightarrow i \downarrow \rightarrow r_k \downarrow$  复色光入射: 内红外外紫

• 条纹间隔:  $\delta = 2ne \cos \gamma + \frac{\lambda}{2} = k\lambda \Rightarrow -2ne \sin \gamma \Delta \gamma = \Delta k \lambda$

取  $\Delta k = -1$  (内高外低), 相邻条纹的角间距  $\Delta \gamma = \frac{\lambda}{2ne \sin \gamma}$

$r_k = f \tan i$      $r_k \uparrow \rightarrow i \uparrow \rightarrow \gamma \uparrow \rightarrow \Delta \gamma \downarrow$     内疏外密

• 膜厚变化对条纹的影响

$e$  增大时, 条纹不断从中央冒出

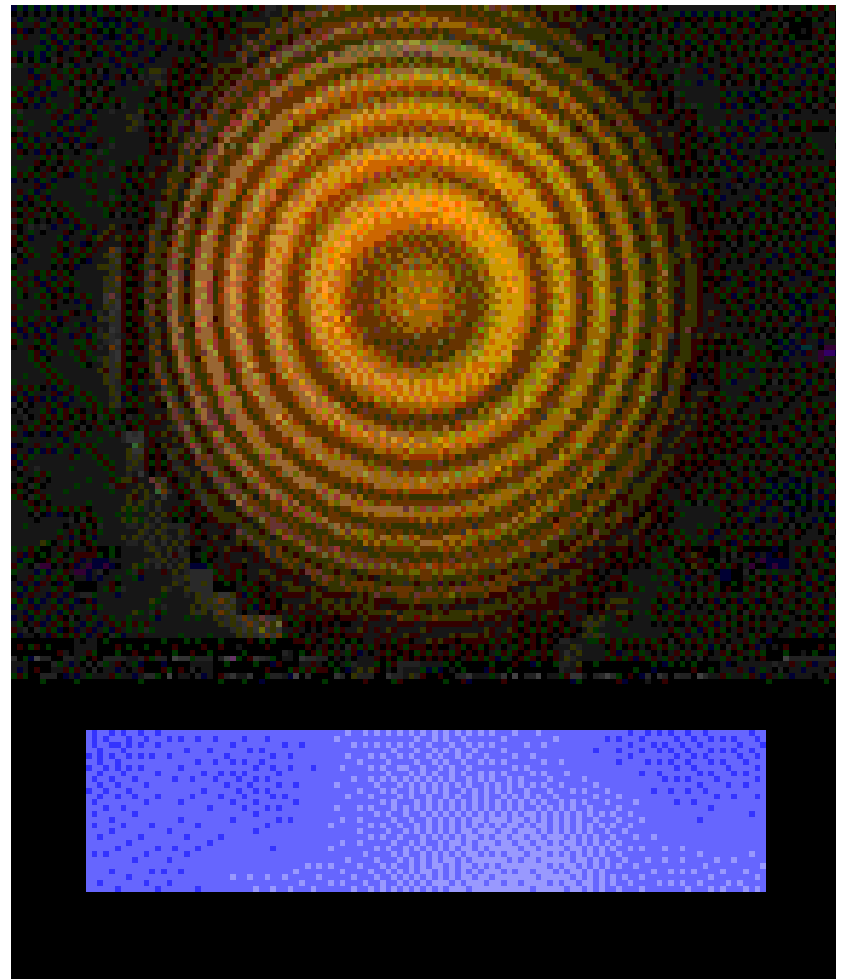
$\delta$  一定,  $e \uparrow \rightarrow \cos \gamma \downarrow \rightarrow \gamma \uparrow \rightarrow r_k \uparrow$

每冒出1个条纹, 膜厚增加多少?

圆环中心处  $2ne + \frac{\lambda}{2} = k_o \lambda$

$e \uparrow \rightarrow k_o \uparrow$      $2n\Delta e = \Delta k_o \lambda$

$\Delta k_o = 1 \Rightarrow \Delta e = \frac{\lambda}{2n}$





## 牛顿环

- 圆环半径:
- 环纹间距:
- 级次分布:
- 复色光:
- 膜厚增加:

$$r_k = \sqrt{kR\lambda} \text{ (暗纹)}$$

内疏外密

内低外高

内紫外红

环纹内陷

## 等倾干涉

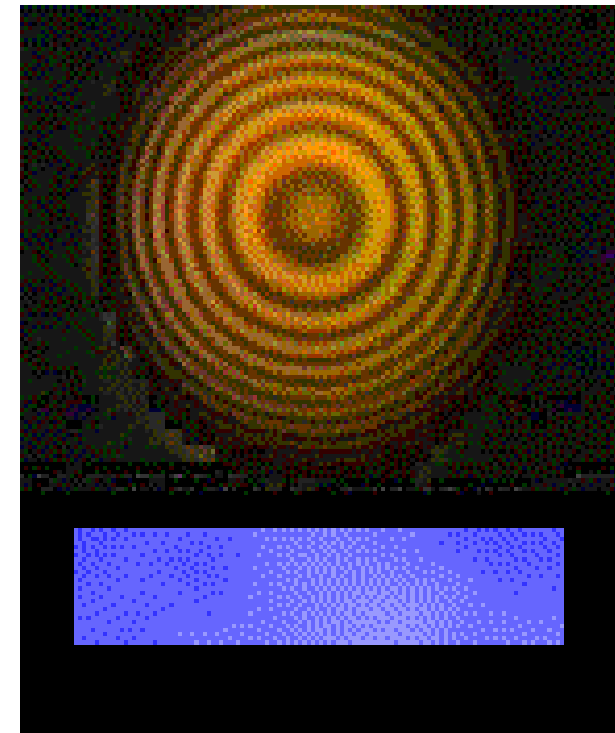
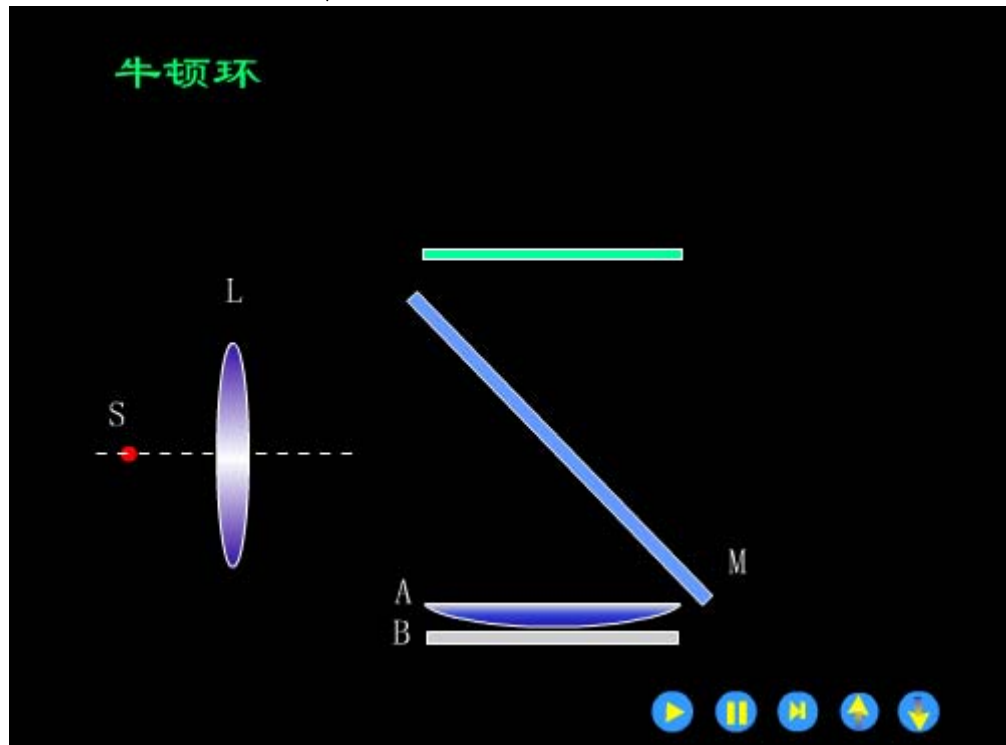
$$r_k = f \tan i$$

内疏外密

内高外低

内红外紫

环纹冒出

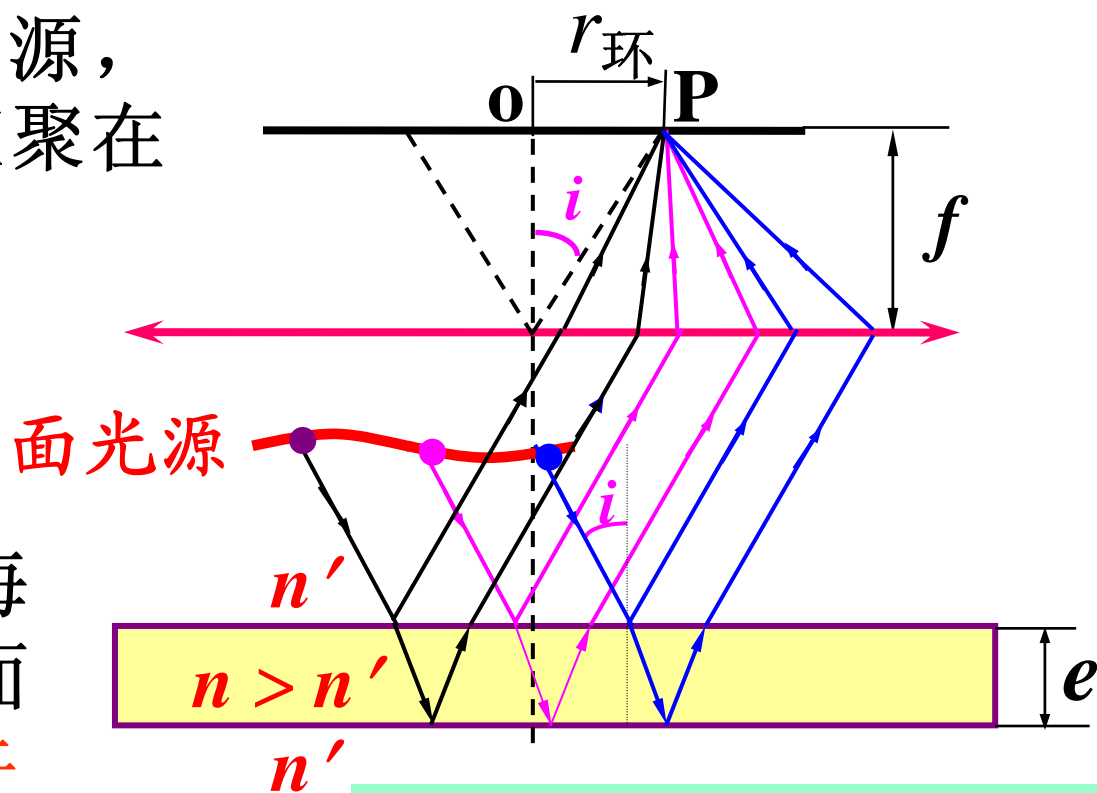


▲薄膜干涉可以使用扩展光源，以增大条纹的亮度

不管来自哪个点光源，  
只要*i*相同，都将汇聚在  
同一个圆环上。

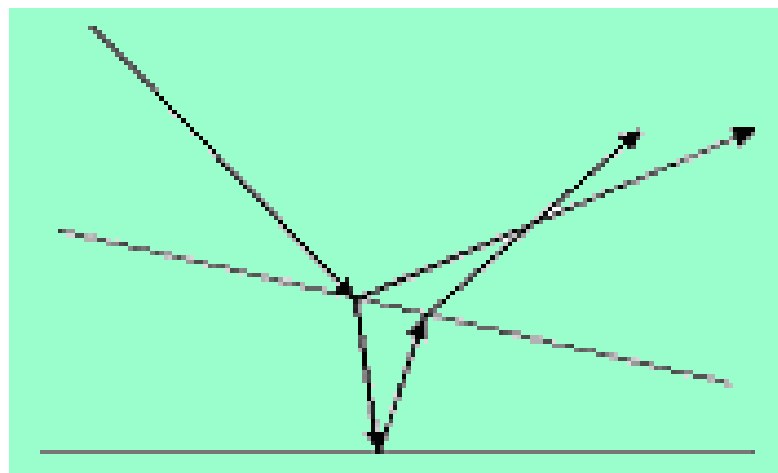
扩大了视场，也使  
条纹更加明亮。

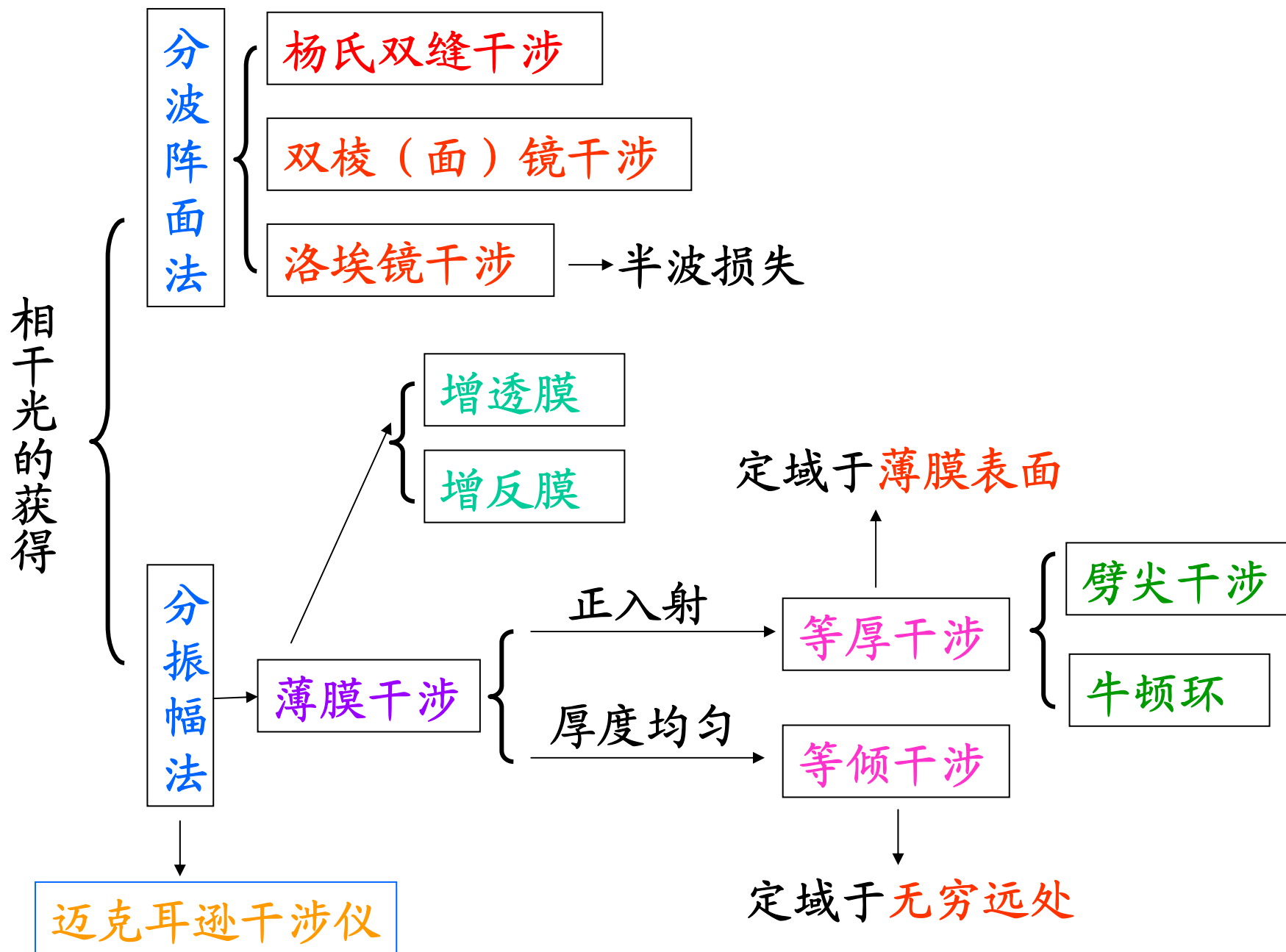
各点光源**非相干**，每  
个点光源在上下表面  
两次反射的光线**相干**



▲等倾干涉中使用了凸透镜，  
定域于无限远处

等厚干涉中不需要凸透镜，  
定域于薄膜表面附近





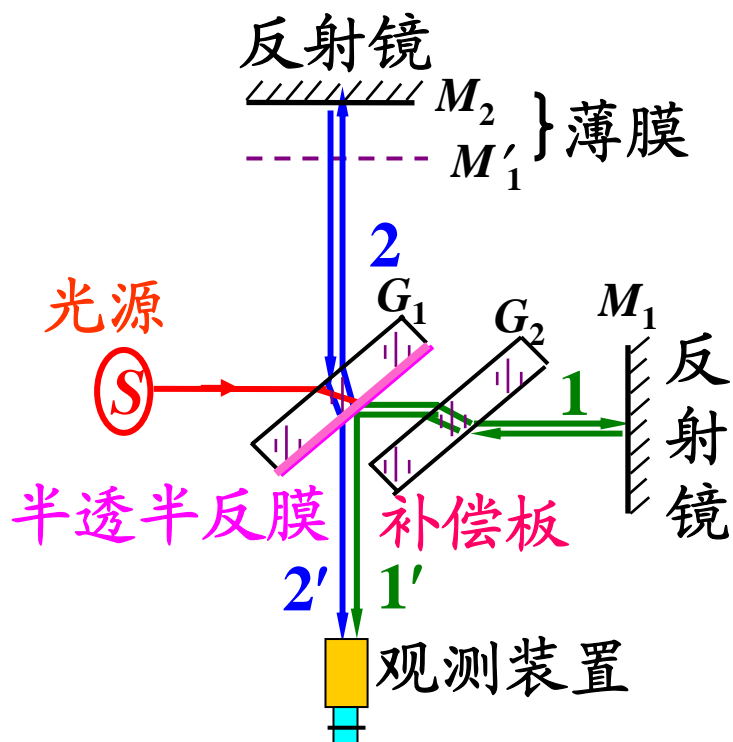
## § 5 迈克耳逊干涉仪

- 迈克耳逊干涉仪是1883年美国物理学家迈克耳逊和莫雷合作,为研究“以太”漂移而设计制造出来的精密光学仪器。
- 迈克耳逊-莫雷实验否定了绝对参照系“以太”的存在,使经典物理学的绝对时空观受到了严重的挑战,为狭义相对论的建立提供了实验基础。
- 迈克耳逊因发明干涉仪和在光速测量方面的成就而获1907年诺贝尔奖。
- 迈克耳逊干涉仪是用分振幅的方法产生双光束以实现干涉的仪器。
- 根据该仪器的原理,研制出多种专用干涉仪。



迈克耳逊  
Michelson

## 5.1 原理



- 两平面镜垂直放置，其中 $M_1$ 固定， $M_2$ 可前后移动
- $G_1$ 、 $G_2$ 是两块相同的平行玻璃板，与 $M_1$ 、 $M_2$ 成 $45^\circ$
- $G_1$ 的一个表面涂有半透明的薄层银， $G_2$ 为相位补偿器
- $M_1'$ 为 $M_1$ 经薄层银面成的像， $M_1'$ 与 $M_2$ 形成空气薄膜  
若 $M_1$ 、 $M_2$ 严格垂直，则 $M_1'$ 、 $M_2$ 严格平行。

▲若 $M_1'$ 、 $M_2$ 平行 $\Rightarrow$ 等倾条纹

前后移动反射镜 $M_2$ ,

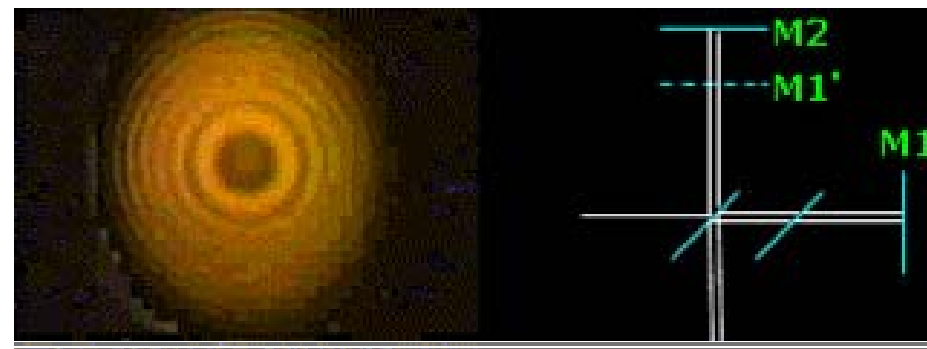
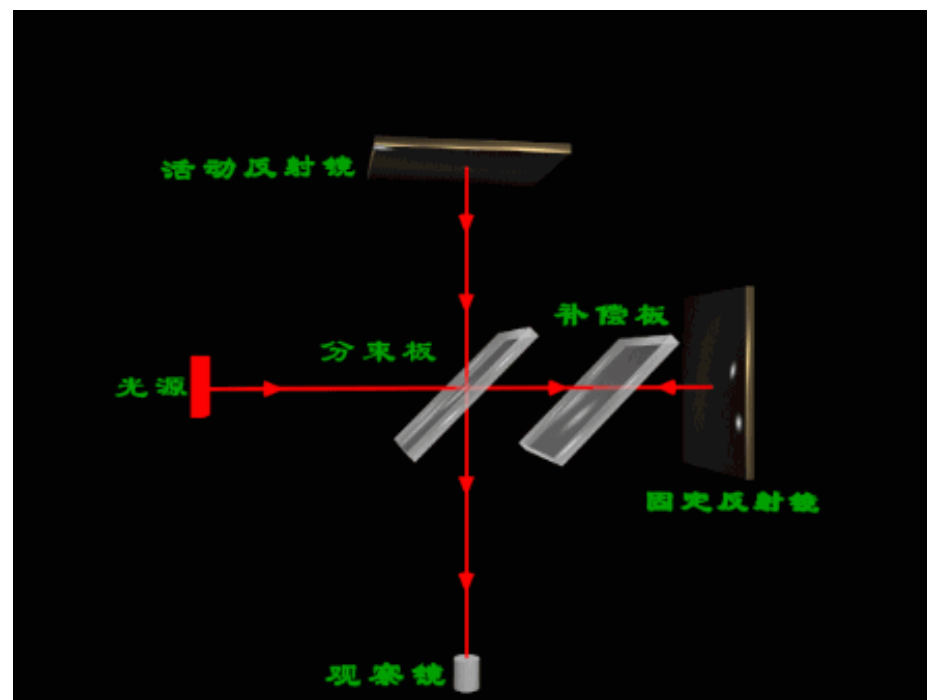
即改变薄膜的厚度 $e$

看到干涉条纹从圆环  
中心冒出或缩进。

等倾干涉每冒出1个条纹,  
膜厚增加

$$\Delta e = \frac{\lambda}{2n} = \frac{\lambda}{2} \leftarrow \text{空气 } n=1$$

若 $M_2$ 移动时, 有 $N$ 个条  
纹**陷入**中心, 则表明 $M_2$   
相对于 $M_1$ **移近**了 $N\lambda/2$



▲若 $M_1'$ 、 $M_2$ 有小夹角 $\Rightarrow$ 等厚条纹

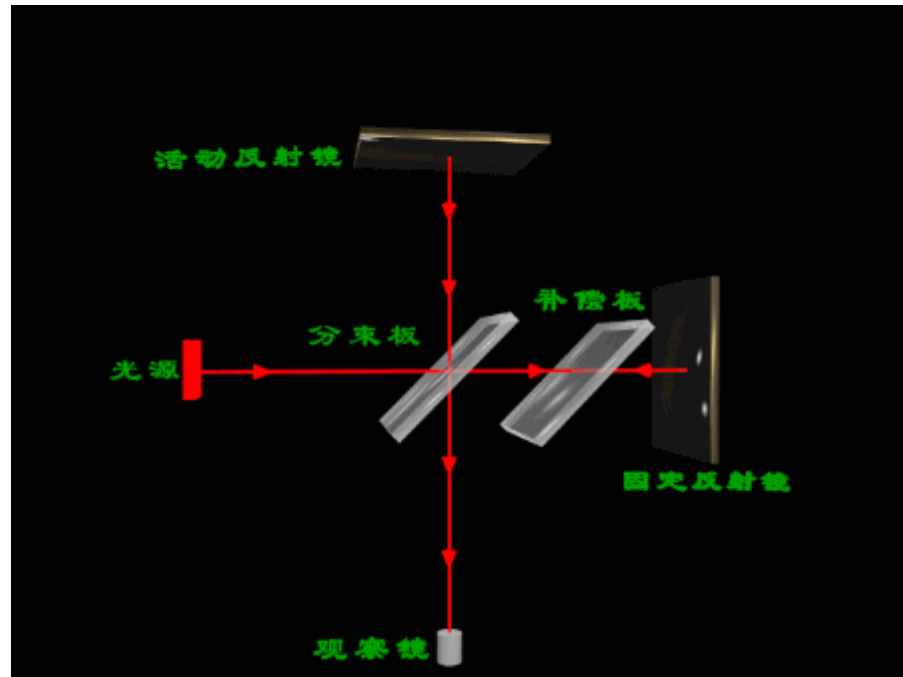
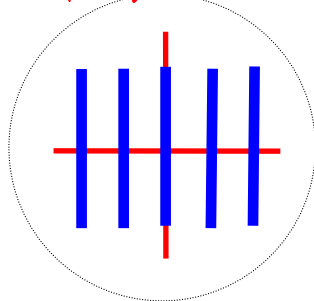
调节使 $M_2$ 与 $M_1'$ 接近重合，  
再细心调节使 $M_2$ 与 $M_1'$ 有一  
很小夹角，形成劈尖。

劈尖干涉每移过1个条纹，  
膜厚的变化为

$$\Delta e = \frac{\lambda}{2n} = \frac{\lambda}{2} \leftarrow \text{空气 } n=1$$

若条纹移过 $N$ 条，  
说明 $M_2$ 平移了  
距离 $d=N\lambda/2$

十字叉丝



- 记下平移的距离和条纹移动的数目，可测出波长
- 已知波长，则可由 $N$ 来测量微小伸长量(如热胀冷缩量)



## 5.2 应用

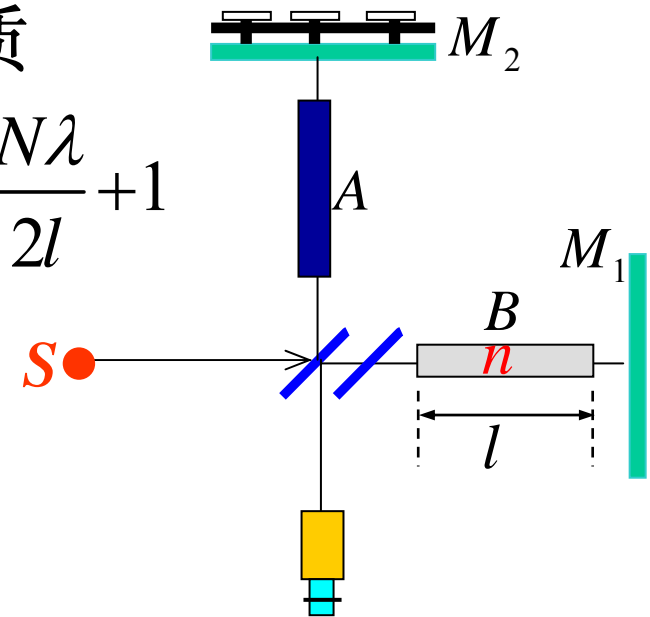
- 测量波长、微小位移 以波长 $\lambda$ 为尺度，可精确到 $\lambda/20$
- 测介质折射率

光源、两个反射面 $M_1$ 和 $M_2$ 、接收器(或观察者)四者在空间完全分开，便于在光路中安插其它器件。

比如在光路1中插入长为 $l$ 的待测介质

产生附加光程差： $2(n-1)l = N\lambda \Rightarrow n = \frac{N\lambda}{2l} + 1$   
观察到移过了 $N$ 个条纹

**例：**在迈克耳逊干涉仪的两臂中分别插入10cm长的真空玻璃管A、B，现给B充以一个大气压的空气，此过程中观察到条纹移动了107.2条，所用波长为546nm，  
**求：**管中空气的折射率？



**解：**

$$n = \frac{107.2 \times \lambda}{2l} + 1 = 1.0002927$$



## 本章内容

★ ★ ★ 熟悉 ★ ★ ★

- ◆ 双缝干涉：条纹间距
  - ◆ 等倾干涉
  - ◆ 等厚干涉：劈尖、牛顿环
- } 干涉图样，条纹特点

★ ★ 理解 ★ ★

- ◆ 光程： $\lambda$ ——真空中波长
- ◆ 增透膜，增反膜
- ◆ 迈克尔逊干涉仪

★ 了解 ★

- ◆ 类双缝干涉：洛埃镜——半波损失



作业:

物理学教程  
(第二版)下册

**P236**

8, 11, 12,  
15, 18, 19